

تقدير انموذج AR(3) باستعمال طريقة Levinson–Durbin التكرارية و طريقة المربعات الصغرى الموزونة

جنان عباس ناصر
الكلية التقنية الادارية - بغداد

أستلم البحث في : 9 نيسان 2013 ، قبل في : 24 حزيران 2013

الخلاصة

في هذا البحث نتحرى حول طرائق التقدير لأنموذج الانحدار الذاتي من الرتبة الثالثة باستعمال طريقة Levinson–Durbin التكرارية (LDR) وطريقة المربعات الصغرى الموزونة (WLSE). اذ تم توليد سلسلة زمنية من أنموذج AR(3) عندما يكون حد الخطأ يتبع التوزيع الطبيعي وغير الطبيعي، وعند ما يتبع حد الخطأ لأنموذج ARCH(q) برتبة q=1,2. استعملت حجوم مختلفة من العينات. واستحصلت النتائج باستعمال المحاكاة. عموماً نستنتج تحسين التقديرات لأنموذج الانحدار الذاتي بكلا طريقتي التقدير (LDR و WLSE) بزيادة حجم العينة، ولكل التوزيعات المفترضة لحد الخطأ عدا التوزيع اللوغارتمي الطبيعي. ونرى تحسين التقدير يعتمد على قيمة المعلمة α ايضاً التي تمثل عامل الاضمحلال (Forgetting Factor) والتي تكون قيمتها اقل من الواحد اي ($\alpha < 1$)، اذ يتحسن التقدير عند القيمة الكبيرة للمعلمة α بالتحديد عند $\alpha = 0.99$ ، وأخيراً استعملنا طريقتي التقدير (LDR & WLSE) لبيانات حقيقية. الكلمات المفتاحية: نماذج الانحدار الذاتي، طريقة Levinson–Durbin التكرارية، طريقة المربعات الصغرى الموزونة.

1. المقدمة

تعد مسألة التنبؤ من احدى المسائل المعروفة في تحليل السلاسل الزمنية، إذ إن دقة التنبؤ بالأنموذج تعتمد حتما على الأنموذج الذي تم تقديره من سلسلة البيانات المستحصلة لعملية معينة على أوقات منتظمة، من هنا جاءت فكرة هذا البحث. إذ اختير أنموذج الانحدار الذاتي من الرتبة الثالثة (AR(3))، للتحري عن حصانة تقديرات معاملات أنموذج AR(3) عندما تكون قيم معلماته مولدة عشوائيا من التوزيع المنتظم، بطريقة Levinson-Durbin التكرارية (LDR) المستعملة من Levinson عام 1947، واعد صياغتها فيما بعد Durbin عام 1960، وكذلك طريقة المربعات الصغرى الموزونة (WLSE) [1, 4] التي تعد من إحدى طرائق التنقية التكييفية (Adaptive Filtering). وهناك العديد من البحوث التي تناولت طريقة Levinson-Durbin التكرارية، وطريقة المربعات الصغرى الموزونة نذكر ابرزها تجنبا للاطالة، ففي عام 2003 قام الباحث Garg [1] بنمذجة السلسلة الزمنية التي تمثل تنقية الصور بنماذج الانحدار الذاتي (AR) واستعمل طريقة Levinson-Durbin التكرارية (LDR) وطريقة المربعات الصغرى الموزونة (WLSE) لتقدير معاملات انموذج الانحدار الذاتي. ولاحظ تفوق طريقة WLSE على طريقة LDR عندما تكون السلسلة الزمنية ضعيفة الاستقرارية بالاعتماد علىالمقياس الاحصائي متوسط مربعات الخطاء. ففي عام 2003 تناول الباحثون Roth & Kauppinen [2] طريقة Levinson-Durbin التكرارية (LDR) مقارنة مع طريقتي Burg الهندسية والتوافقية بالاعتماد على المقياس الإحصائي المتمثل بمعدل القيم المطلقة لنسب الأخطاء (MAPE) لقياس دقة التنبؤ بالانموذج ولكلا الطريقتين لنمذجة تردد مشوه. وفي عام 2004 قدم الباحث Liew [3] دراسة مقارنة لمعايير المعلومات لأختيارطول الازاحة الفعلية لنماذج الانحدار الذاتي عند نمذجة السلاسل الزمنية المولدة من نماذج AR. وقد استعمل معيار معلومات Akaike (AIC) ومعيار Schwarz (SIC) ومعيار Hannan-Quinn (HQC) ومعيار خطأ التنبؤ النهائي (FPE) ومعيار Bayesian (BIC)، لتقديرطول الازاحة الفعلية للبيانات المولدة من عملية AR(4)، عند خضوع معاملات الأنموذج AR(4) للتوزيع المنتظم بالمدة من (1, -1) لضمان شرط الاستقرارية لتلك العملية، وخضوع متغيرحد الخطاء للأنموذج AR(4) للتوزيع الطبيعي بمتوسط صفر وتباين قدره σ^2 . ولحجوم عدة من العينات تتراوح بين 30 و960، واستنتج من خلال تجارب المحاكاة بان اداء كل معايير المعلومات المعتمدة في البحث يتحسن بزيادة حجم العينة. وفي عام 2005 ناقش الباحث Hwang [4] خصائص عينة كبيرة لمقدرات المربعات الصغرى والمربعات الصغرى الموزونة لمعلمة الانحدار الذاتي للعملية AR(1) عندما تكون معلمة الانموذج متغير عشوائي، وتوصل الى ان مقدرات اقل المربعات تكون تقديرات غير متسقة بعكس مقدرات المربعات الصغرى الموزونة التي تكون متسقة وتكون محاذية للتوزيع الطبيعي حتى عندما يكون حد الخطأ لعملية AR(1) غير موزع طبيعيا. وفي عام 2007 تناول الباحثان Abid و Asghar [5] مقارنة لمعايير المعلومات (AIC, FPE, SIC, HQC, AICC) لتقديرطول الازاحة الفعلية لعمليات AR(p) باستعمال المحاكاة، وقد استعملا تلك المعايير في تقديرطول الازاحة الفعلية للبيانات المولدة من عملية AR(5)، عند خضوع معاملات الأنموذج AR(5) للتوزيع المنتظم بالمدة (0.5, -0.5) لضمان شرط الاستقرارية لتلك العملية، وفي حالة خضوع متغيرحد الخطأ للأنموذج AR(5) للتوزيع الطبيعي وغير الطبيعي اي نماذج Autoregressive conditionally heteroskedastic (ARCH(q), q=2,3) (error terms) عندما تمثل q رتبة الانموذج (اي عدد المعلمات في الانموذج) وعند خضوع معاملات انموذج ARCH(q) للتوزيع المنتظم بالمدة من 0 و 1. ولحجوم عدة من العينات تتراوح بين 30 و960. وتوصلا الى ان اداء تلك المعايير يتحسن بزيادة حجم العينة. ويكون اداء معيار SIC افضل في تقديرطول الازاحة الفعلية عندما يكون حجم العينة اكبر من 240. وفي عام 2010 اشق الباحثان Chen و Deo [6] تقريب المربعات الصغرى الموزونة لمقدر الامكان وفقا لقيود محددة لعملية الانحدار الذاتي من الرتبة p (AR(p)) متعدد المتغيرات بطريقة المربعات الصغرى الموزونة وتوصلا الى ان طريقة المربعات الصغرى الموزونة قللت التحيز ومتوسط مربعات الخطأ بشكل معنوي مقارنة بطريقة المربعات الصغرى عندما تكون عملية AR(p) مستقرة او غير مستقرة. وفي عام 2012 تناولت الباحثة جنان [7] دراسة مقارنة للتحري عن فاعلية معايير المعلومات (AIC, FPE, SIC, HQC, AICC) لتقدير الرتبة الفعلية لأنموذج AR(p) من خلال المحاكاة، وذلك بتوليد سلاسل زمنية مختلفة تخضع لأنموذج الانحدار الذاتي المستقر من الرتبة الاولى والثانية (AR(1), AR(2)) بقيم عدة مفترضة لمعاملات الانموذج ووفقا لبنية متغيرحد الخطاء والمتمثلة بالاتي :-
اولا- خضوع متغيرحد الخطاء للتوزيع الطبيعي. ثانيا - خضوع متغيرحد الخطاء لأنموذج ARCH(q) برتبة q=1,2 بقيم عدة مفترضة لمعاملات الانموذج. ثالثا- تحت افتراض تغير في بنية متغيرحد الخطأ الذي يخضع للتوزيع الطبيعي. وفي عام 2013 تناولت الباحثة جنان [8] دراسة مقارنة بين طرائق تقدير الانحدار الذاتي متضمنة طريقة المربعات الصغرى وطريقة معادلات Yule-walker و طريقة Levinson-Durbin التكرارية وطريقة التوافقية بالاعتماد على المقياس الإحصائي المتمثل بمعدل القيم المطلقة لنسب الأخطاء (MAPE) ومتوسط مربعات الخطاء (MSE) لقياس دقة التنبؤ بالانموذج بكل طريقة مستعملة لنمذجة كمية الانتاج للشركة العامة للصناعات القطنية لثلاثة منتجات تمثل سلاسل زمنية ضعيفة الاستقرارية، ولوحت تفوق طريقة Levinson-Durbin التكرارية على بقية الطرائق المستعملة في البحث. وبناء على ماتقدم فان هدف البحث تقدير انموذج AR(3) باستعمال طريقة Levinson-Durbin التكرارية و طريقة المربعات الصغرى الموزونة المقترح استعمالها كطريقة تقدير لنماذج الانحدار الذاتي عندما تكون السلسلة الزمنية ضعيفة الاستقرارية من خلال المحاكاة. إذ تم توليد سلسلة زمنية تخضع لأنموذج AR(3) بقيم مفترضة لمعاملات الأنموذج مولدة من التوزيع المنتظم وتحقق شرط الاستقرارية، ولتوزيعات احتمالية عدة مفترضة لمتغير حد الخطأ لأنموذج AR(3) منها

التوزيع الطبيعي القياسي والتوزيع اللوغارتمي الطبيعي والتوزيع المنتظم المستمر وتوزيع (t). فضلا عن افتراض بان متغير حد الخطأ لأنموذج AR(3) يخضع لأنموذج ARCH(q) برتبة q=1,2 ويقيم عدة مفترضة لمعاملات الأنموذج وعلى وفق حجوم عينات مختلفة. ومن ثم إجراء عملية تقدير معاملات أنموذج AR(3) باستعمال كلا الطريقتين المتقدم ذكرهما (LDR و WLSE) للتحري عن حصانة التقديرات من خلال مقاييس عدة منها: التقدير التجريبي للمعلمة والتحيز في تقدير المعلمة ومتوسط مربعات الخطأ للمعلمة المحتسبة بكلا الطريقتين LDR و WLSE، ومتوسط مربعات الخطأ بطريقة LDR ومربعات الخطأ الموزونة المحتسبة بطريقة WLSE. فضلا عن احتساب المقياس الإحصائي المتمثل بمعدل القيم المطلقة لنسب الأخطاء (MAPE) لقياس دقة التنبؤ بالانموذج ولكلا الطريقتين. وقد استعمل برنامج Matlab لتنفيذ تجارب البحث من خلال كتابة برامج وتحويل لبعض البرامج المنشورة على الانترنت والمدونه في مصادر البحث.

2. تقدير أنموذج الانحدار الذاتي Estimation for Autoregressive Model

للسلسلة الزمنية $\{x_t\}$ لقيم $t=1, 2, \dots, n$ التي تمثل عينة عشوائية بحجم n مسحوبة من قيم معينة للظاهرة قيد البحث، يمكن تمثيل أنموذج الانحدار الذاتي من الرتبة p والتي تمثل عدد المعلمات المراد تقديرها للسلسلة الزمنية $\{x_t\}$ باستعمال الصيغة الآتية [2,12]:

$$x_t = -\sum_{i=1}^p a_i x_{t-i} + \varepsilon_t \quad \dots (1)$$

وتمثل (a_1, a_2, \dots, a_p) معاملات انموذج الانحدار الذاتي ويمكن كتابة الصيغة (1) على وفق الصيغة $\varepsilon_t = A(B)x_t$ ، إذ ،

$$A(B) = 1 + a_1 B + a_2 B^2 + \dots + a_p B^p \quad \dots (2)$$

و ان B^i تمثل معامل الارتداد الخلفي، أي إن $x_t = x_{t-i}$. وتمثل ε_t حد الخطأ الذي يكون سلسلة من المتغيرات العشوائية المستقلة والمتطابقة التوزيع بمتوسط صفر وتباين مقداره σ^2 وتقديره يمثل قوة خطأ التقريب للمقدر الخطي في الصيغة (1) من الرتبة p. ويعد أنموذج AR(p) مستقرا إذا كانت القيمة المطلقة لمجموع قيم معاملات الأنموذج اقل من الواحد أي ان $|\sum_{i=1}^p a_i| < 1$ [3,5,7]. وفيما يأتي شرح لطريقتي التقدير المستعملة في هذا البحث لتقدير نماذج الانحدار الذاتي (AR(p)).

2.1 طريقة Levinson-Durbin التكرارية (LDR) Recursion Levinson-Durbin

إن هذه الطريقة تقدر معاملات أنموذج الانحدار الذاتي من الرتبة p (AR(p)) بطريقة تكرارية، وتمتاز هذه الطريقة بكونها تقدر كل قيم المعلمات الأنموذج AR(p) الدنيا مرة واحدة، أي عند تقدير أنموذج AR(5) أي عند الرتبة p=5 فانه يتم تقدير قيم معاملات أنموذج AR(1) و AR(2) ولغاية AR(p=5)، مع حساب قيمة متوسط مربعات الخطأ (MSE) ويرمز له بـ $\hat{\rho}_k$ انظر المصدرين [9,11]. ولاستعمال هذه الطريقة يتم حساب قيم دوال الارتباط الذاتي $\hat{R}(k)$ (no normalization) غير المتحيزة المقدره من العينة للسلسلة الزمنية $\{x_t\}$ عندما تكون $t=1, 2, \dots, n$ وتكون صيغة حسابها على وفق الآتي [1,10]:

$$\hat{R}(k) = (1/(n-k)) \sum_{t=k+1}^n x_t x_{t-k} \quad , \quad k = 0, 1, \dots, p \quad \dots (3)$$

إذ ان $\hat{R}(k)$ تمثل القيم المقدره من العينة لدالة الارتباط الذاتي عند الازاحة k، وتبدأ هذه الطريقة على وفق الخطوات الآتية [1,10]:

1. جعل قيمة $\hat{a}_0 = 1$ ، وكذلك قيمة $\hat{\rho}_0 = \hat{R}(0)$.
2. وبذلك فان قيمة معلمة الانعكاس $\hat{a}_{11} = -\hat{R}(1)/\hat{R}(0)$ ، وكذلك قيمة $\hat{\rho}_1 = (1 - |\hat{a}_{11}|^2) \hat{R}(0)$.
3. ثم حساب معاملات الانعكاس لـ k عندما تكون $k=0, 1, \dots, p$ على وفق الصيغة الآتية:

$$\hat{a}_{kk} = -[\hat{R}(k) + \sum_{i=1}^{k-1} \hat{a}_{k-1,i} \hat{R}(k-i)] / \hat{\rho}_{k-1} \quad \dots (4)$$

اذ يتم حساب قيم معاملات أنموذج AR(p) بالاعتماد على قيمة معاملات الانعكاس لـ k من المعاملات على وفق الصيغة الآتية:

$$\hat{a}_{p,k} = \hat{a}_{p-1,k} + \hat{a}_{k,k} \hat{a}_{p-1,p-k}^* \quad , \quad \forall k = 0, 1, \dots, p \quad \dots (5)$$

إن الإشارة (*) تعني complex conjugate انظر المصادر [1,10,11] ، أي قيمة المعلمة في المرحلة التكرارية السابقة وان

$$\left. \begin{array}{l} \hat{a}_{pk} = 1, \quad k = 0 \\ \hat{a}_{p,k} = -a_{p,k}, \quad k = 1, 2, \dots, p. \end{array} \right\} \dots (6)$$

إما تقديرات متوسط مربعات الخطأ (ρ_k) فتكون على وفق الصيغة الآتية :

$$\rho_k = (1 - |a_{kk}|^2) \rho_{k-1} \dots (7)$$

2.2 طريقة اقل مربعات الخطاء الموزونة (WLSE)

تناولنا في الفقرة السابقة طريقة Levinson- Durbin التكرارية التي يتطلب فيها حساب قيم دوال الارتباط الذاتي من العينة، لأية عملية عشوائية x_t عندما تكون $t=1,2,\dots, n$ لحساب قيم معاملات المقدر الخطي/عملية الانحدار الذاتي بشكل تكراري. وهنا نستعمل طريقة اقل مربعات الخطأ الموزونة (WLSE) [1,4] التي لايتطلب فيها حساب قيم دوال الارتباط الذاتي للعملية المدخلة (x_t) لحساب قيم معاملات المقدر الخطي، إذ يتم اعتماد قيم معاملات المقدر الخطي المحسوبة بالمدة الحالية لتكن $t=k$ للحصول على مجموعة جديدة من قيم المعلمات للمقدر الخطي بالمدة الحالية لتكن $t=k+1$ وتسمى تلك المعلمات بمعلمات التنقية (filter coefficients) [1].

وتبدأ هذه الطريقة على وفق الخطوات الآتية [1] :

1. جعل قيم متجه المعلمات $a_p = [1 \ 0 \ 0 \ \dots \ 0]^T$ ، وجعل $P(1)=I$ مصفوفة الوحدة من الرتبة $p \times p$ ، التي تدخل في عملية تحديث متجه المعلمات (a) او معاملات التنقية فيما بعد.

2. يتم حساب القيمة التقديرية $\hat{x}(k)$ بالمدة $t=k$ ولقيم $k = 2 \rightarrow \infty$ على وفق الصيغة الآتية :

$$\hat{x}(k) = a_p^T (k-1) u(k) \dots (8)$$

وتمثل $u(k)$ قيم العينات الداخلة بالخطوة k ، إي إن $u(k) = [x(k-1) \ x(k-2) \ \dots \ x(k-p)]^T$

3. يتم تحديث متجه المعلمات a بالمدة $t=k$ على وفق الصيغة الآتية:

$$a_p(k) = a_p(k-1) + \frac{P(k-1)u(k)}{\alpha + u^T(k)P(k-1)u(k)} [x(k) - \hat{x}(k)] \dots (9)$$

إذ إن α تمثل Forgetting Factor وتكون قيمتها اقل من الواحد ($\alpha < 1$) ، إذ تعتمد قيمة α على طبيعة العملية المدخلة، وعادة ما تستعمل القيمة $\alpha = 0.99$ التي تكون عامل للموازنة بين خزن كل العينات السابقة في أثناء عملية حساب تقدير متجه المعلمات a لأنموذج الانحدار الذاتي (AR(P)).

4. يتم تحديث المصفوفة P المستعملة في حساب قيم معاملات انموذج AR(P) على وفق الصيغة الآتية :

$$p(k) = \frac{1}{\alpha} \left\{ p(k-1) - \frac{P(k-1)u(k) u^T(k)P(k-1)}{\alpha + u^T(k)P(k-1)u(k)} \right\} \dots (10)$$

وفي هذه الطريقة يتم تعريف معيار جديد يعتمد عليه لتقليل الأخطاء بين القيم المتنبأ بها والقيم الحقيقية. إذ يتم حساب المجموع الموزون للأخطاء وتقليله لمجموعة من الأوزان ، إذ تتناقص تلك الأوزان للعينات الأقدم ، ويتحقق ذلك باختيار الأوزان بطريقة ملائمة لتكون مساوية لـ $\alpha^k = \alpha^{k-1}$ عندما تكون قيمة $\alpha < 1$ وبذلك فان حساب المعيار الأدنى بطريقة WLSE عندما تكون $t=k$ سيكون على وفق الصيغة الآتية :

$$B(a) = 0.5 \sum_{i=1}^k \alpha^i [a_p^T u(i) - x(i)]^2 \dots (11)$$

3. الجانب التجريبي

استعملت المحاكاة لغرض التحري عن حصانة التقديرات المستحصلة عليها باستعمال، طريقة Levinson-Durbin التكرارية (LDR) وطريقة اقل مربعات الخطأ الموزونة (WLSE) بوصفها طريقتين لتقدير نماذج الانحدار الذاتي، وذلك من خلال بناء تجارب المحور المتقدم ذكره في المبحث (2) وعلى وفق الفروض والمواصفات الآتية :

1. تم استعمال التوزيع المنتظم المستمر بالمدة $a=-0.5$ و $b=0.5$ لتوليد قيم معاملات نموذج AR(3) عشوائيا من التوزيع المنتظم لثلاث قيم إي لتوليد $\forall i = 1,2,3 \quad a_i \sim U(-0.5,0.5)$ والتي تحقق شرط الاستقرارية $|a_1 + a_2 + a_3| < 1$ ، انظر المصادر [3,5,7] وقد كانت تلك القيم كما يأتي:

$$a_1 = -0.0553, \quad a_2 = 0.1154, \quad a_3 = 0.2919$$

لتكون السلسلة الزمنية المولدة من نموذج AR(3) التي سيتم دراستها على وفق الصيغة الآتية:

$$x_t = -0.0553x_{t-1} + 0.1154x_{t-2} + 0.2919x_{t-3} + \varepsilon_t \dots (12)$$

2. استعملت إحصاءات العينات $n=30,60,120,240,480$.

3. استعملت نموذج الانحدار الذاتي (AR(3)) المتقدم ذكره بالفقرة (1) بالصيغة (12) المبينة اعلاه، لتوليد قيم السلسلة الزمنية المستقرة من الأنموذج المتقدم ذكره وذلك عند افتراض توزيعات عدة لحد الخطأ (ε_t) في الأنموذج منها:-
التوزيع الطبيعي القياسي بمتوسط مساويا للصفر وتباين مقدارة واحد اي
(Normal distribution ($\mu = 0, \sigma^2 = 1$))
مقدارة واحد اي (Log normal distribution ($\mu = 1, \sigma^2 = 1$))
(Continuous Uniform distribution ($a = -1, b = 1$)) وتوزيع (t) بدرجة حرية (2) اي (Student's distribution ($df = 2$)). فضلا عن افتراض بان توزيع حد الخطأ (ε_t) لأنموذج AR(3) يخضع لأنموذج ARCH(q) برتبة $q=1,2$ ، (انظر المصدرين [5,7] لمزيد من التفاصيل ((وكما مبين أدناه :-

$$\bullet \quad \varepsilon_t = z_t \sqrt{0.25 + 0.45\varepsilon_{t-1}^2}$$

$$\bullet \quad \varepsilon_t = z_t \sqrt{0.5 + 0.2\varepsilon_{t-1}^2}$$

$$\bullet \quad \varepsilon_t = z_t \sqrt{0.01 + 0.2\varepsilon_{t-1}^2 + 0.2\varepsilon_{t-2}^2}$$

$$\bullet \quad \varepsilon_t = z_t \sqrt{0.2 + 0.2\varepsilon_{t-1}^2 + 0.2\varepsilon_{t-2}^2}$$

لكل النماذج ARCH(q) المتقدم ذكرها اعلاه، تعرف z_t بأنها متغير عشوائي يخضع للتوزيع الطبيعي بمتوسط صفر وتباين مقداره واحد إي إن $z_t \sim \text{Normal}(0,1)$ انظر المصدرين [5,7].

4. ثم تجري التجارب المختلفة تبعا لجميع التوليفات الممكنة للفروض المتقدم ذكرها اعلاه من خلال تكرار هذا التوليد للسلاسل الزمنية لـ 500 مرة لكل تجربة ولكل حجم عينة (n).

5. ومن ثم يتم استعمال طريقتي LDR و WLSE لتقدير معاملات نموذج AR(3) لكل n ولكل تكرار (r=500). وقد استعمل برنامج Matlab لكتابة برامج البحث، فضلا عن تحويل بعض البرامج المنشورة على الانترنت والمتعلقة بتلك الطريقتين المستعملة في البحث (وعلى وفق الخوارزميات المرفقة في الملحق) لغرض الحصول على نتائج البحث إذ سنلاحظ في كل مرة مالذي ستؤول إليه نتائج التقدير، وذلك باستعمال المعايير الآتية للإشارة إلى حصانة وجودة تلك التقديرات وكما مبين أدناه.

6. التقدير التجريبي للمعلمة ($a_i \quad \forall i = 1,2,3$) باستعمال إي من الطريقتين LDR و WLSE ويحتسب على وفق الصيغة الآتية:

$$EES_a = \sum_{r=1}^{500} \hat{a}_i(r) / 500 \dots (13)$$

7. التحيز في تقدير المعلمة ($a_i \quad \forall i = 1,2,3$) باستعمال إي من الطريقتين LDR و WLSE ويحتسب على وفق الصيغة الآتية:

$$BIAS_a = \sum_{r=1}^{500} (a_i - \hat{a}_i(r)) / 500 \dots (14)$$

إذ إن a_i قد تكون أي قيمة من قيم عناصر المتجه $a = [-0.0553 \quad 0.1154 \quad 0.2919]$ ، وكلما اقتربت قيمة هذا المعيار من الصفر ازدادت جودة التقديرات.

8. متوسط مربعات خطأ تقدير المعلمة ($a_i \quad \forall i = 1,2,3$) باستعمال إي من الطريقتين LDR و WLSE ويحتسب على وفق الصيغة الآتية :

$$MSE_a = \sum_{r=1}^{500} (a_i - \hat{a}_i(r))^2 / 500 \dots (15)$$

إذ إن a_i قد سبق تعريفها كما مبين أعلاه وكلما اقتربت قيمة هذا المعيار من الصفر ازدادت جودة التقديرات.

9. مقياس متوسط مربعات الخطأ (ρ_k) أو يكون هنا مساويا لـ ρ_3 وفقا لأنموذج AR(3) الذي يتم حسابه بطريقة LDR على وفق الصيغة (7) ويحتسب لكل تكرارات التجارب تبعا للصيغة الآتية :

$$\hat{\rho}_3 = \sum_{r=1}^{500} \rho_3(r) / 500 \dots (16)$$

10. مقياس مربعات الخطأ الموزون ($B(a)$) باستعمال الطريقة المقترحة WLSE ويحتسب على وفق الصيغة (11) ويحتسب لكل تكرارات التجارب تبعا للصيغة الآتية :

$$\hat{B}(a) = \sum_{r=1}^{500} B(a)(r) / 500 \dots (17)$$

11. فضلا عن اختيار المقياس الإحصائي المتمثل بمعدل القيم المطلقة لنسب الأخطاء (Mean Absolute Percentage Error(MAPE)) باستعمال إي من الطريقتين LDR و WLSE لقياس دقة التنبؤ الذي يحتسب على وفق الصيغة الآتية [1] :

$$MAPE = (1/n) \sum_{t=1}^n |x_t - \hat{x}_t| / x_t \dots (18)$$

ويحتسب لجميع تكرارات التجارب ($r=500$) ثم يؤخذ المعدل لتلك القيم. ويمكن ان تضرب قيمة MAPE في 100، فاذا كانت القيمة المئوية لـ MAPE اقل من 10% فان دقة انموذج التنبؤ تكون عالية جدا، واذا كانت القيمة المئوية لـ MAPE تتراوح بين 10%-20% فان دقة انموذج التنبؤ تكون جيدة، اما اذا القيمة المئوية لـ MAPE تتراوح بين 20% و50% فان دقة انموذج التنبؤ تكون معقولة او مقبولة، وتعد دقة انموذج التنبؤ الاسوء عندما تكون القيمة المئوية لـ MAPE اكثر من 50% [9]. ويمكن القول الشئ نفسه حول القيم السالبة لمعيار MAPE.

3.1 استعراض النتائج التجريبية

في هذه الفقرة سنعرض النتائج التي تم الحصول عليها وتحليلها حسب توزيع متغير حد الخطأ لأنموذج AR(3) المستقر في الصيغة (12)، وذلك عند تقدير معايير المفاضلة المتقدم ذكرها في المبحث (3) للتحري عن حصانة وجودة تقديرات طريقة LDR والطريقة المقترحة في البحث WLSE عند إجماع العينات المأخوذة (n). إذ لخصت النتائج مما تقدم ذكره في الجداول من (1 - (4-5))، انظر الملحق .

أولاً: إن جودة تقدير الأنموذج في الصيغة (12) باستعمال طريقة LDR عند خضوع متغير حد الخطأ للتوزيع

1. الطبيعي القياسي بالمعلمتين ($\mu = 0, \sigma^2 = 1$) ومن النتائج الواردة في جدول (1) انظر الملحق، نلاحظ ان جودة تقدير معلمات الأنموذج (EES_a) عموماً تزداد بزيادة حجم العينة (n). وعلى وفق معيار التحيز في تقدير المعلمة ($BIAS_a$) فان التقديرات تكون اجود كلما اقتربت قيمة هذا المعيار من الصفر، إذ تكون تلك القيم موجبة ومتناقصة بزيادة n لمعلمات الانموذج عدا المعلمة (a_1)، وبشكل عام تكون قيمة التحيز متذبذبة بزيادة ونقصان. إما بالنسبة المعيار متوسط مربعات الخطأ في تقدير المعلمة (MSE_a) فان التقديرات تكون متناقصة بزيادة n . وتكون قيمة متوسط مربعات خطأ الأنموذج (ρ_3) متزايدة بزيادة n ، وكذلك قيم المعيار الإحصائي MAPE تكون متزايدة بزيادة n عدا $n=60, 120$ وكما مبين في الجدول (1). وتعد دقة انموذج التنبؤ غير مضبوطة (غير مقبولة) ولكل احجام العينات عدا $n=60, 120$ التي تكون فيها القيمة المئوية لـ MAPE اقل من 50% .

2. اللوغارتمي الطبيعي بالمعلمتين ($\mu = 1, \sigma^2 = 1$) ومن النتائج الواردة في جدول (1)، فان جودة تقدير معلمات الأنموذج (EES_a) تكون ضعيفة، إذ تكون تلك القيم اكبر مقارنة بالقيم المفترضة للأنموذج في الصيغة (12) التي ولدت منها السلسلة الزمنية، ومن ثم فان قيمة التحيز في تقدير المعلمة ($BIAS_a$) تكون سالبة عند معظم احجام العينات و متزايدة بزيادة n عموماً، يرافقتها تناقص قيمة معيار MSE_a بزيادة n ، إذ تزداد جودة التقدير كلما اقتربت قيمة هذا المعيار من الصفر. ونلاحظ تناقص قيم ρ_3 بزيادة n عدا $n=480$ ، في حين تكون قيم المعيار الاحصائي MAPE متزايدة بزيادة حجم العينة عدا $n=120$. وتعد دقة انموذج التنبؤ غير مضبوطة (غير مقبولة) لكل احجام العينات وفقاً للقيمة المئوية لـ MAPE التي تكون اكبر من 50% .

3. المنتظم المستمر بالمعلمتين ($a = -1, b = 1$) ومن النتائج الواردة في جدول (1)، فان جودة تقدير المعلمة (EES_a) عموماً تزداد بزيادة حجم العينة (n)، يرافقتها تناقص في قيمة المعيارين $BIAS_a$ و MSE_a بزيادة n ، إذ تزداد جودة التقديرات كلما اقتربت قيمة المعيارين من الصفر، في حين تزداد قيمة ρ_3 بزيادة n . إما قيمة المعيار الإحصائي MAPE فتكون متذبذبة بزيادة ونقصان بزيادة n . وتعد دقة انموذج التنبؤ جيدة (مقبولة) لكل احجام العينات عدا $n=60$ التي تكون فيها القيمة المئوية لـ MAPE اكبر من 50% ، إذ تعد دقة انموذج التنبؤ جيدة جداً عند احجام العينات $n=30, 120$ التي تكون فيها القيمة المئوية لـ MAPE اقل من 10% .

4. (t) بدرجة حرية (2) ومن النتائج الواردة في جدول (1)، نلاحظ وبشكل عام ان جودة تقدير المعلمة (EES_a) تزداد بزيادة حجم العينة (n)، يرافقتها تناقص في قيمة المعيارين $BIAS_a$ و MSE_a بزيادة n . وتكون قيمة ρ_3 متناقصة بزيادة n ، إما قيمة المعيار الإحصائي MAPE فتكون متذبذبة بزيادة ونقصان ولأغلب حجوم العينات. وتعد دقة انموذج

التنبؤ غير مضبوطة (غير مقبولة) ولكل احجام العينات عدا $n=30,240$ التي تكون فيها القيمة المئوية لـ MAPE اقل من 50% .

ثانيا: إن جودة تقدير الأنموذج في الصيغة (12) باستعمال طريقة LDR عند خضوع متغير حد الخطأ لنماذج عدة مفترضة لـ ARCH(q) برتبة $q=1,2$ وكما يأتي :

1. لأنموذج ARCH(1) على وفق الصيغة $\varepsilon_t = z_t \sqrt{0.25 + 0.45\varepsilon_{t-1}^2}$ عندما تكون

$z_t \sim \text{Normal}(0, 1)$ ومن النتائج الواردة في جدول (2) انظر الملحق، فان جودة تقدير المعلمة (EES_a) تزداد

بزيادة حجم العينة (n)، يرافقتها قيم متناقصة بزيادة n للمعيارين $BIAS_a$ و MSE_a ، في حين تكون قيم ρ_3 متناقصة

بزيادة n عدا $n=480$ ، اذ تزداد قيمة ρ_3 عندما يكون حجم العينة كبير جدا. إما قيمة المعيار الاحصائي MAPE فتكون

متناقصة بزيادة n عند قيم $n=30-120$ ثم تأخذ بالتزايد عند بقية أحجام العينات الكبيرة. وتعد دقة انموذج التنبؤ جيدة

و مقبولة لكل احجام العينات عدا $n=480$ تبعا للقيمة المئوية لـ MAPE التي تكون اكبر من 50% ، وتعد دقة انموذج

التنبؤ جيدة جدا عند قيم $n=60,240$ تبعا للقيمة المئوية لـ MAPE التي تكون اقل من 10% .

2. لأنموذج ARCH(1) على وفق الصيغة $\varepsilon_t = z_t \sqrt{0.5 + 0.2\varepsilon_{t-1}^2}$ عندما تكون $z_t \sim \text{Normal}(0, 1)$ ومن

النتائج الواردة في جدول (2)، نلاحظ وبصورة عامة ان جودة التقدير المعلمة (EES_a) تزداد بزيادة حجم العينة (n)،

يرافقتها تناقص في قيم المعيارين $BIAS_a$ و MSE_a بزيادة n . وتزداد قيمة ρ_3 بزيادة n ، في حين تكون قيمة المعيار

الإحصائي MAPE متذبذبة بزيادة ونقصان بزيادة n عموما. وتعد دقة انموذج التنبؤ جيدة و مقبولة لكل احجام

العينات تبعا للقيمة المئوية لـ MAPE التي تكون اقل من 50% . إذ تعد دقة انموذج التنبؤ جيدة جدا عند قيم

$n=120,240$ تبعا للقيمة المئوية لـ MAPE التي تكون اقل من 10% .

3. لأنموذج ARCH(2) على وفق الصيغة $\varepsilon_t = z_t \sqrt{0.01 + 0.2\varepsilon_{t-1}^2 + 0.2\varepsilon_{t-2}^2}$ عندما تكون

$z_t \sim \text{Normal}(0, 1)$ ومن النتائج الواردة في جدول (2)، فان جودة تقدير المعلمة (EES_a) وبشكل عام تزداد

بزيادة حجم العينة (n)، يرافقتها قيم متناقصة للتحيز في تقدير المعلمة ($BIAS_a$) وكذلك قيمة متوسط مربعات الخطأ في

تقدير المعلمة (MSE_a) بزيادة n ، في حين تكون قيمة ρ_3 متذبذبة بزيادة ونقصان بزيادة n . وتكون قيمة

المعيار الإحصائي MAPE متزايدة وبشكل عام بزيادة حجم العينة. وتعد دقة انموذج التنبؤ جيدة لكل احجام العينات

عدا الحجمين $n=30,480$ تبعا للقيمة المئوية لـ MAPE التي تكون اكبر من 50% .

4. لأنموذج ARCH(2) على وفق الصيغة $\varepsilon_t = z_t \sqrt{0.2 + 0.2\varepsilon_{t-1}^2 + 0.2\varepsilon_{t-2}^2}$ عندما تكون

$z_t \sim \text{Normal}(0, 1)$ ومن النتائج الواردة في جدول (2)، تزداد جودة تقدير المعلمة بزيادة حجم العينة (n)، في

حين تكون قيم المعيارين $BIAS_a$ و MSE_a متناقصة بزيادة n عموما، إما قيمة ρ_3 فتكون متزايدة بزيادة n ، وتكون

قيم المعيار الإحصائي MAPE متذبذبة بزيادة ونقصان بزيادة حجم العينة. وتعد دقة انموذج التنبؤ جيدة لكل احجام

العينات تبعا للقيمة المئوية لـ MAPE التي تكون اقل من 50%، اذ تكون دقة انموذج التنبؤ جيدة جدا عند حجم العينة

$n=120$ وفقا للقيمة المئوية لـ MAPE التي تكون اقل من 10% .

ثالثا: إن جودة تقدير الأنموذج AR(3) على وفق الصيغة (12) باستعمال الطريقة المقترحة WLSE للتقدير عند قيم عدة لـ

$\alpha = 0.3, 0.6, 0.99$ عند خضوع متغير حد الخطأ للتوزيع

1. الطبيعي القياسي بالمعلمتين ($\mu = 0, \sigma^2 = 1$) ومن النتائج الواردة في الجدولين (3-1) و(3-5) ، انظر الملحق .

نلاحظ ان جودة تقدير معاملات الأنموذج (EES_a) تتحسن بزيادة قيمة α وحجم العينة (n). وعلى وفق معيار التحيز

في تقدير المعلمة ($BIAS_a$) ومعيار متوسط مربعات خطأ تقدير المعلمة (MSE_a)، فإن تلك التقديرات تكون أجود

كلما اقتربت قيمة المعلمة من الصفر وكما مبين في الجدول (3-1)، إذ تكون قيمة التحيز موجبة عند معظم إحجام

العينات. إما لقيمة معيار مربعات الخطاء الموزون ($B(a)$) فتكون متذبذبة بزيادة ونقصان بزيادة قيمة n ومتزايدة

بزيادة قيمة α عموما. ولقيم المعيار الإحصائي MAPE فتكون تلك القيم موجبة ولكل قيم α و n عدا $\alpha = 0.3$

و $n=240$ ، في حين تكون قيم متناقصة بزيادة n لقيم $n=30-120$ ولكل قيم α ، انظر الجدول (3-5). وعند القيمة

$\alpha = 0.99$ فان دقة انموذج التنبؤ تعد غير جيدة لكل احجام العينات عدا قيمة $n=120$ تبعا للقيمة المئوية لـ

MAPE التي تكون اقل من 50% .

2. اللوغارتمي الطبيعي بالمعلمتين ($\mu = 1, \sigma^2 = 1$) ومن النتائج الواردة في الجدولين (3-2) و(3-5) ، وعلى وفق

معيار EES_a فان تلك التقديرات تكون اكبر مقارنة بالقيم المقترضة للأنموذج الذي ولدت منه السلسلة الزمنية ولكل قيم

α وحجم العينة (n). إما على وفق معيار التحيز في تقدير المعلمة ($BIAS_a$) فتكون تلك القيم سالبة لكل قيم α و n .

في حين تكون قيمة معيار متوسط مربعات خطأ تقدير المعلمة (MSE_a) متناقصة بزيادة قيمة α ومتناقصة بزيادة n

لقيمة $\alpha = 0.99$ بخلاف بقية قيم α . وتزداد قيمة معيار مربعات الخطأ الموزون (B(a)) بزيادة قيمة α في حين تكون متذبذبة بزيادة ونقصان بزيادة n . إما قيمة المعيار الإحصائي MAPE فتكون متناقصة بزيادة قيمة α ومتذبذبة بزيادة ونقصان بزيادة قيمة n ، وكما مبين في الجدول (3-5). وعند القيمة $\alpha = 0.99$ فإن دقة نموذج التنبؤ تعد غير جيدة لكل احجام العينات تبعا للقيمة المئوية لـ MAPE التي تكون اكبر من 50%.

3. المنتظم المستمر بالمعلمتين ($\mathbf{a} = -1, \mathbf{b} = 1$) ومن النتائج الواردة في الجدولين (3-3) و(3-5)، نلاحظ ان جودة التقدير تتحسن بزيادة قيمة α وحجم العينة (n) عموما. في حين تكون قيم التحيز في تقدير المعلمة ($BIAS_a$) متناقصة بزيادة n لقيمة $\alpha = 0.99$ بخلاف بقية قيم α . والشئ نفسه لمعيار متوسط مربعات خطأ تقدير المعلمة (MSE_a). إما قيمة معيار B(a) فتكون متزايدة بزيادة n لقيمة $\alpha = 0.99$ بخلاف بقية قيم α ، التي تكون لأغلب حجوم العينات متذبذبة بزيادة ونقصان بزيادة n . إما قيمة المعيار الإحصائي MAPE وكما مبين في الجدول (3-5) فتكون متذبذبة بزيادة ونقصان بزيادة n ولأغلب قيم α ، في حين تكون متزايدة بزيادة قيمة α ولأغلب حجوم العينات. وعند القيمة $\alpha = 0.99$ فإن دقة نموذج التنبؤ تعد جيدة لكل احجام العينات عدا قيمة $n=60,240$ تبعا للقيمة المئوية لـ MAPE التي تكون اكبر من 50%.

4. (t) بدرجة حرية (2) ومن النتائج الواردة في الجدولين (3-4) و(3-5) انظر الملحق، نلاحظ وبشكل عام ان جودة تقدير المعلمة تتحسن بزيادة قيمة α وثبوت حجم العينة (n). إما على وفق معيار التحيز في تقدير المعلمة ($BIAS_a$) ومعيار متوسط مربعات خطأ تقدير المعلمة (MSE_a) فتكون تلك القيم غالبا متناقصة بزيادة قيمة α وثبوت n ، في حين تكون متذبذبة بزيادة ونقصان بزيادة n عموما بثبوت قيمة α ، وبشكل عام تتحسن جودة التقدير كلما اقتربت تلك القيم من الصفر. إما بالنسبة لمعيار B(a) فتكون غالبا قيم متناقصة بزيادة n ولكل قيم α . ومن الجدول (3-5) نلاحظ ان قيمة المعيار الإحصائي MAPE تكون متذبذبة بزيادة ونقصان ولأغلب حجوم العينات بزيادة n وثبوت قيمة α . وعند القيمة $\alpha = 0.99$ فإن دقة نموذج التنبؤ تعد غير جيدة لكل احجام العينات عدا قيمة $n=30,240,480$ تبعا للقيمة المئوية لـ MAPE التي تكون اقل من 50%.

رابعا: إن جودة تقدير الأنموذج AR(3) على وفق الصيغة (12) باستعمال الطريقة المقترحة للتقدير WLSE عند قيم عدة لـ $\alpha = 0.3, 0.6, 0.99$ عند خضوع متغير حد الخطأ لنماذج مقترضة عديدة لـ ARCH(q) برتبة $q=1,2$ وكما يأتي :

1. لأنموذج ARCH(1) على وفق الصيغة $\varepsilon_t = z_t \sqrt{0.25 + 0.45\varepsilon_{t-1}^2}$ عندما تكون $z_t \sim \text{Normal}(0,1)$ ومن النتائج الواردة في الجدولين (4-1) و(4-5) انظر الملحق، بشكل عام نلاحظ ان جودة تقدير المعلمة تتحسن بزيادة قيمة كل من α وحجم العينة (n). إما بالنسبة الى قيم المعيارين التحيز في تقدير المعلمة ($BIAS_a$) ومعيار متوسط مربعات خطأ تقدير المعلمة (MSE_a) فتكون متناقصة بزيادة قيمة كل من α و n بالتحديد لقيمة $\alpha = 0.99$ ، إذ تتحسن جودة التقدير كلما اقتربت تلك القيم من الصفر. إما بالنسبة الى قيم معيار مربعات الخطأ الموزون (B(a)) فتكون عموما متذبذبة بزيادة ونقصان بزيادة n وقيمة α ، وكما مبين في جدول (4-1) فإن قيمة B(a) عند القيمة $\alpha = 0.99$ تكون متزايدة بزيادة حجم العينة. ومن الجدول (4-5) نلاحظ أن قيم المعيار الإحصائي MAPE تكون عموما متناقصة بزيادة قيمة α ولأغلب حجوم العينات. وعند القيمة $\alpha = 0.99$ فإن دقة نموذج التنبؤ تعد جيدة جدا لكل احجام العينات عدا قيمة $n=480$ تبعا للقيمة المئوية لـ MAPE التي تكون اكبر من 50%. إذ تعد دقة انموذج التنبؤ جيدة جدا عند بقية الحجوم .

2. لأنموذج ARCH(1) على وفق الصيغة $\varepsilon_t = z_t \sqrt{0.5 + 0.2\varepsilon_{t-1}^2}$ عندما تكون $z_t \sim \text{Normal}(0,1)$ ومن النتائج الواردة في الجدولين (4-2) و(4-5)، عموما نلاحظ ان جودة تقدير المعلمة تتحسن بزيادة قيمة كل من α وحجم العينة (n). والشئ نفسه لقيم المعيارين $BIAS_a$ و MSE_a . إما بالنسبة الى قيم B(a) فتكون متزايدة بزيادة α وثبوت n ، في حين تكون تلك القيم متذبذبة بزيادة ونقصان بزيادة n وثبوت قيمة α . إما بالنسبة لقيم المعيار الإحصائي MAPE المدونة في جدول (4-5) فإن تلك القيم تكون متزايدة عموما بزيادة قيمة α ولأغلب حجوم العينات. وعند القيمة $\alpha = 0.99$ فإن دقة انموذج التنبؤ تعد جيدة لكل احجام العينات تبعا للقيمة المئوية لـ MAPE التي تكون اقل من 50%. إذ تعد دقة انموذج التنبؤ جيدة جدا عند حجم العينة $n=120,240$ تبعا للقيمة المئوية لـ MAPE التي تكون اقل من 10%.

3. لأنموذج ARCH(2) على وفق الصيغة $\varepsilon_t = z_t \sqrt{0.01 + 0.2\varepsilon_{t-1}^2 + 0.2\varepsilon_{t-2}^2}$ عندما تكون $z_t \sim \text{Normal}(0,1)$ ومن النتائج الواردة في الجدولين (4-3) و(4-5)، بشكل عام نلاحظ ان جودة تقدير المعلمة تتحسن بزيادة قيمة كل من α وحجم العينة (n)، إذ إن جودة التقدير تكون أفضل عند حجوم العينات الكبيرة بالتحديد عند $n=480$. وتزداد جودة التقدير على وفق معيار التحيز في تقدير المعلمة ($BIAS_a$) ومعيار متوسط مربعات خطأ تقدير المعلمة (MSE_a) بزيادة حجم العينة (n) وقيمة α بالتحديد عند القيمة لـ $\alpha = 0.99$ إذ تكون

تلك القيم متناقصة بزيادة n ، بخلاف بقية قيم α التي تكون فيها قيم المعيارين متذبذبة بزيادة ونقصان بزيادة n . إما بالنسبة الى قيم معيار مربعات الخطأ الموزون (B(a)) فنكون عموماً متزايدة بزيادة n وقيمة α . ومن الجدول (4-5) نلاحظ ان قيم المعيار الإحصائي MAPE تكون متناقصة عموماً بزيادة حجم العينة وقيمة α بالتحديد لقيمة $\alpha = 0.99$ بخلاف بقية قيم α ، إذ تكون متذبذبة بزيادة ونقصان بزيادة حجم العينة. وعند القيمة $\alpha = 0.99$ فان دقة النموذج التنبؤ تعد غير جيدة لكل احجام العينات عدا $n=120,240$ تبعا للقيمة المثوية لـ MAPE التي تكون اقل من 50%.

4. لأنموذج ARCH(2) على وفق الصيغة $\varepsilon_t = z_t \sqrt{0.2 + 0.2\varepsilon_{t-1}^2 + 0.2\varepsilon_{t-2}^2}$ عندما تكون $z_t \sim \text{Normal}(0, 1)$ ومن النتائج الواردة في الجدولين (4-4) و (4-5)، بشكل عام نلاحظ ان جودة تقدير المعلمة تتحسن بزيادة قيمة كل من α وحجم العينة (n). والشئ نفسه لقيم التحيز في تقدير المعلمة (BIAS_a) ومعيار متوسط مربعات خطأ تقدير المعلمة (MSE_a)، إذ تتحسن جودة التقدير باقتراب قيمة المعيارين من الصفر. في حين تكون قيم معيار مربعات الخطأ الموزون (B(a)) متزايدة بزيادة قيمة α وحجم العينة. ومن الجدول (4-5) نلاحظ ان قيم المعيار الإحصائي MAPE تكون متناقصة عموماً بزيادة قيمة α ولكل حجومات العينات المستعملة في البحث، في حين تكون متناقصة بزيادة حجم العينة عند القيمة $\alpha = 0.99$ ، ومتذبذبة بزيادة ونقصان لبقيّة قيم α بزيادة حجم العينة. وعند القيمة $\alpha = 0.99$ فان دقة النموذج التنبؤ تعد جيدة لكل احجام العينات عدا قيمة $n=30$ تبعا للقيمة المثوية لـ MAPE التي تكون اقل من 50%. إذ تعد دقة النموذج التنبؤ جيدة جدا عند الحجمين $n=120,240$ تبعا للقيمة المثوية لـ MAPE التي تكون اقل من 10%.

4. الجانب العملي

في هذا البحث طبقت طريقتا التقدير LDR و WLSE المتقدم ذكرهما في الجانب النظري وربط الجانب التجريبي بالجانب العملي من خلال تطبيق طريقتي التقدير على البيانات المستحصلة من الواقع العملي. فقد اعتمدت البيانات المتوافرة في وحدة المتابعة والتخطيط للشركة العامة لتصنيع الحبوب في العراق. بالاعتماد التقارير السنوية التي تعدها وحدة المتابعة في هذه الشركة وهي من إحدى الشركات الصناعية والإنتاجية والتسويقية التابعة لوزارة التجارة، التي تهدف إلى المساهمة في دعم الاقتصاد الوطني في مجال إنتاج وتوزيع الطحين على الوكلاء لتأمين توزيعه على المواطنين والإشراف على إنتاج الخبز والسمون في مصانع الشركة والقطاع الخاص. وقد تضمنت تلك البيانات كمية الحبوب المطحونة (بالأطنان) شهريا للمدة من سنة 2007 والى غاية سنة 2011 (انظر الجدول(7) المتضمن كمية الحبوب المطحونة (بالأطنان) شهريا)، وعلى مستوى القطر. ويعتمد العاملون في وحدة المتابعة والتخطيط في تقدير الانتاج المخطط من كمية الحبوب المطحونة بالاعتماد على عدد الافراد في المحافظة التي يتم الحصول عليها من وزارة التجارة والمستحصلة من متابعة المتغيرات الشهرية التي تحدث على البطاقة التموينية مضموناً في تسعة التي تمثل حصة الفرد من الطحين مضروب في النسبة 102%. وهنا طبقت طريقتا التقدير LDR و WLSE للحصول على اربعة نماذج مقترحة للتقدير بكمية الحبوب المطحونة لغرض تحديد الانموذج الأكثر ملائمة للتقدير كمية الحبوب المطحونة وتبعا للمقياس الاحصائي الذي ترغب الشركة بالاعتماد عليه. وقد استعمل برنامج Matlab للحصول على النتائج المتعلقة بتطبيق طريقتي التقدير المتقدم ذكرهما.

فقد رسمت السلسلة الزمنية التي تمثل كمية الحبوب المطحونة (بالأطنان) شهريا، بهدف الاطلاع على شكل السلسلة الزمنية (x) انظر الشكل (1) المبين في الملحق. ولمعرفة فيما إذا كانت السلسلة الزمنية مستقرة أم لا فقد رسمت قيم دالة الارتباط الذاتي (ACF) للسلسلة الزمنية (x) المتقدم ذكرهما. وحسب قيم ACF للعينة عند الإزاحة k اي ($\text{Lag}(k)$) ($k=0,1,2,\dots$) والتي يرمز لها بـ (\hat{r}_k) على وفق الصيغة الآتية:

$$\hat{r}_k = \hat{\gamma}_k / \hat{\gamma}_0, \quad k = 0, 1, \dots$$

إذ إن $\hat{r}_k = \hat{r}_{-k}$. إما صيغة حساب دالة التغيرات الذاتية للعينة عند $\text{Lag}(k)$ اي ($\text{Lag}(k)$, $k=0,1,2,\dots$) التي يرمز لها بـ $\hat{\gamma}(k)$ فنكون على وفق الآتي :-

$$\hat{\gamma}(k) = (1/n) \sum_{t=k+1}^n (x_t - \bar{x})(x_{t-k} - \bar{x}), \quad k = 0, 1, \dots$$

وكما يتبين من الشكل (2) انظر الملحق، نلاحظ منه ضعف استقرارية السلسلة الزمنية وذلك لعدم اقتراب قيم معاملات الارتباط الذاتي من الصفر بعد الإزاحة الأولى والثانية. وقد استعملت طريقة التقدير LDR وطريقة WLSE بقيم عدة لـ $\alpha = 0.3, 0.6, 0.99$ ، لتقدير نماذج الانحدار الذاتي ضمن مجموعة قيم لـ $p=1,2,3,4$ ، أي تقدير أنموذج AR(1) و AR(2) و AR(3) و AR(4) ثم تحديد الرتبة المثلى للأنموذج تبعا لمقياس اقل قيمة لـ

- متوسط مربعات الخطأ (ρ) الذي يتم حسابه بطريقة LDR على وفق الصيغة (7).
 - مربعات الخطأ الموزون (B(a)) باستعمال طريقة WLSE الذي يتم حسابه على وفق الصيغة (11).
 - معدل القيم المطلقة لنسب الأخطاء (MAPE) الذي يتم حسابه على وفق الصيغة (18).
- وقد لخصت النتائج مما تقدم ذكره في الجدولين (5 و6) والمبينة في الملحق. وكما مبين من الجدول (5) بان الرتبة المثلى لأنموذج AR(p) تبعا لأقل قيمة لـ ρ بطريقة LDR عند الرتبة $p=4$ اي انموذج AR(4)، الا انه تكون القيمة المثوية لـ MAPE اكبر من قيمة القيمة المثوية لـ MAPE عند الرتبة $p=1$ اي انموذج AR(1)، الا انه تكون قيمة لـ ρ اكبر مقارنة بقيمة ρ عند الرتبة $p=4$. انظر الشكل (3) في الملحق الذي يوضح رسم قيم السلسلة الزمنية (x) التي تمثل كمية الحبوب المطحونة (بالأطنان) مع القيم المقدرة لها بأنموذج AR(4). في حين تكون الرتبة المثلى عند الرتبة $p=1$ تبعا لأقل قيمة لـ MAPE. وبشكل عام تعد دقة انموذج التنبؤ مقبولة عند كل النماذج المقترحة AR(p) للرتب $p=[1-4]$ وفقا للقيمة المثوية لـ MAPE اقل من 50% انظر المصدر [1]، انظر الشكل (4) الذي يوضح رسم قيم السلسلة الزمنية (x) مع القيم المقدرة لها بأنموذج AR(1) بطريقة LDR.
- ومن الجدول (6) نلاحظ ان جودة تقدير معاملات انموذج الانحدار الذاتي بطريقة WLSE تتحسن اي تحقق شرط الاستقرارية $\left| \sum_{i=1}^p a_i \right| < 1 \forall i = 1, 2, \dots, p$ بزيادة قيمة α بالتحديد عند القيمة $\alpha = 0.99$. ومن ثم سيتم تحديد الرتبة المثلى على وفق المعيارين المناظرين لقيم المعلمات التي تحقق شرط الاستقرارية، وبذلك ستكون الرتبة المثلى لأنموذج AR(p) تبعا لأقل قيمة لمتوسط مربعات الخطأ (B(a)) عند القيمة $\alpha = 0.99$ عند الرتبة $p=4$ ، انظر الشكل (4) في الملحق الذي يوضح رسم قيم السلسلة الزمنية (x) والتي تمثل كمية الحبوب المطحونة (بالأطنان) مع القيم المقدرة لها بأنموذج AR(4). في حين تكون الرتبة المثلى عند الرتبة $p=1$ تبعا لأقل قيمة لـ MAPE، انظر الشكل (4) الذي يوضح رسم قيم السلسلة الزمنية (x) مع القيم المقدرة لها بأنموذج AR(1) بطريقة WLSE عند القيمة $\alpha = 0.99$.

5. الاستنتاجات

تناولنا في هذا البحث كفاية وجودة التقدير بطريقة Levinson-Durbin التكرارية (LDR) وطريقة اقل مربعات الخطأ الموزونة (WLSE) في تقدير نماذج الانحدار الذاتي او ماتسمى بنماذج all-pole. لدراسة كفاية تقديرات تلك الطريقتين المتقدم ذكرهما لأنموذج AR(3) المستقر، عندما يحيد سلوك العملية عن الطبيعية، وذلك من خلال افتراض توزيعات احتمالية عدة لحد الخطأ لأنموذج AR(3) غير الطبيعية، فضلا عن افتراض بان حد الخطأ لأنموذج AR(3) يخضع لأنموذج ARCH(q) برتبة $q=1,2$ ، لحجوم مختلفة من العينات.

وقد تم التحري عن جودة التقدير من خلال مقياس التقدير التجريبي للمعلمة والتحيز في تقدير المعلمة ومتوسط مربعات الخطأ للمعلمة المحسوبة بكلا الطريقتين LDR و WLSE، ومتوسط مربعات الخطأ بطريقة LDR ومربعات الخطأ الموزونة المحسوبة بطريقة WLSE. فضلا عن احتساب المقياس الإحصائي المتمثل بمعدل القيم المطلقة لنسب الأخطاء (MAPE) وكلا الطريقتين.

أولاً: نبين أهم الاستنتاجات التي أفضت إليها النتائج التجريبية وكما يأتي:

1. عند خضوع متغير حد الخطأ للتوزيع الطبيعي القياسي و التوزيع المنتظم المستمر وتوزيع (t) وبشكل عام فان جودة التقدير تكون ممتازة لإحجام العينات الكبيرة على وفق مقاييس التقدير للمعلمة بطريقة LDR، إذ تزداد جودة التقدير كلما اقتربت قيمة التحيز في تقدير المعلمة ومتوسط مربعات الخطأ للمعلمة من الصفر، وتختلف دقة انموذج التنبؤ عند خضوع متغير حد الخطأ لتوزيع معين وفقا لكل حجم من احجام العينات وبحسب القيمة المثوية لـ MAPE. إما بالنسبة لطريقة WLSE فيمكن تعميم ما تقدم ذكره غير إن جودة التقدير تزداد بزيادة قيمة α بالتحديد عند القيمة $\alpha = 0.99$
2. إما عند خضوع متغير حد الخطأ للتوزيع اللوغارتمي الطبيعي فان جودة تقدير المعلمة تقل ولأحجام العينات كافة على وفق مقياس التحيز في تقدير المعلمة ومتوسط مربعات الخطأ للمعلمة، إذ تكون التقديرات المعلمة اكبر مقارنة بالقيم المفترضة لأنموذج AR(3) ومن ثم تكون قيم التحيز سالبة وكافة إحجام العينات بطريقة LDR. تعد دقة انموذج التنبؤ غير مضبوطة (غير مقبولة) لأحجام العينات كافة تبعا للقيمة المثوية لـ MAPE التي تكون اكبر من 50%. إما بالنسبة الى طريقة WLSE فيمكن تعميم ما تقدم ذكره غير ان جودة التقدير لم تتحسن بزيادة قيمة α وحجم العينة.
3. عند خضوع متغير حد الخطأ لأنموذج ARCH(q) برتبة $q=1,2$ وتبعاً لمعاملات كل أنموذج، إذ تتحسن جودة التقدير على وفق مقياس التحيز في تقدير المعلمة ومتوسط مربعات الخطأ للمعلمة بزيادة حجم العينة، ويكون التقدير ممتاز عند إحجام العينات الكبيرة $n=240,480$ بطريقة LDR، وتختلف دقة انموذج التنبؤ عند خضوع متغير حد الخطأ لتوزيع معين تبعا لكل حجم من احجام العينات وبحسب القيمة المثوية لـ MAPE. إما بالنسبة لطريقة WLSE فيمكن تعميم ما تقدم ذكره غير إن جودة التقدير تزداد بزيادة قيمة α بالتحديد عند القيمة $\alpha = 0.99$.

ثانياً: ومن أهم الاستنتاجات التي أفضت إليها النتائج العملية، بان قيمة متوسط مربعات الخطأ (ρ_k) بطريقة Levinson-Durbin التكرارية (LDR) تكون اقل مقارنة بقيمة معيار مربعات الخطأ الموزون (B(a)) المحسب بطريقة اقل مربعات الخطأ الموزونة (WLSE). وان كلا من طريقة التقدير LDR وطريقة WLSE حددت نفسها الرتبة المثلى

لأنموذج الانحدار الذاتي عند الرتبة $p=4$ تبعاً لمقياس أقل قيمة لمتوسط مربعات الخطأ (ρ_k) الذي يتم حسابه بطريقة LDR على وفق الصيغة (7) ومربعات الخطأ الموزون (B(a)) باستعمال الطريقة المقترحة WLSE الذي يتم حسابه على وفق الصيغة (11). في حين حددت الرتبة $p=1$ تبعاً لأقل قيمة لـ MAPE ولكلا الطريقتين المتقدم ذكرها.

References

1. Garg , Mohit. (2003). "Linear Prediction Algorithms", Indian Institute of Technology, Bombay, India, Apr 2003.
2. Roth, K., & Kauppinen, I. . (2003). "Frequency warped Burg's Methods for AR- Modeling ", IEEE Workshop on Applications of Signal Processing to Audio and Acoustics, October 19-22.
3. Liew, Venus Khim-Sen (2004). "Which Lag Length Selection Criteria Should We Employ?" Economics Bulletin, 3(33), 1-9.
4. Hwang,s,y.. (2005)."Explosive random –coefficient AR(1) processes and related asymptotics for least squares estimation".Journal of time series analysis ISSN:01439782- Vol-26 , Issue-6, pages 807-824 provider : Blackwell publisher: Blackwell publishing DOI.
5. Zahid Asghar1 and Irum Abid2,(2007).Performance of Lag Length Selection Criteria in Three Different Situations. (By internet), interstat journals. Net/year 2007/articles.
6. Chen ,WillaW., Deo, Rohit S. (2010)"Weighted least squares approximate restricted likelihood estimation for vector autoregressive processes", Biometrika ISSN: 00063444, Vol. 97, Issue:1 Pages : 231-237, Provider: oxford University press(OUP) puplisher : oxford University press DOI:10.1093/biomety/asp071.
7. عباس ، جنان (2012)، " حول معايير المعلومات لتحديد طول الازاحة الفعلية لنماذج الانحدار الذاتي " بحث منشور في مجلة المنصور السنة الثانية عشرة- العدد (18) .
- 8 . عباس ، جنان (2013)، " تحديد افضل مقدر خطي بطرق الانحدار الذاتي " بحث مقبول للنشر في مجلة كلية بغداد للعلوم الاقتصادية بموجب الكتاب ذي العدد م / 13/99 بتاريخ 2013/3/10.
9. Lewis, C. D. .(1982). Industrial and Business Forecasting Methods, London, Butterworths.
10. Broersen . P. M.T.. (2006)." Automatic Autocorrelation and Spectral Analysis", Springer-Verlag London Limited.
11. Wang, W., & Wong, A.K.. (2000). " A Model-Based Gear Diagnostic Technique ", DSTO Technical Report, DSTO Aeronautical and Maritime Research Laboratory, Australia.
12. Wei, w. w. s. (1990). Time series Analysis: Univariate and Multivariate methods, Addison- wesly publishing –Inc., U.S.A.

جدول (1) يوضح قيم معايير المفاضلة المستعملة المحسبة بطريقة Levinson – Durbin التكرارية (LDR) على وفق حجوم العينات المأخوذة وقيم معلمات الأنموذج AR(3) المستقر في الصيغة (12) وذلك عند خضوع متغير حد الخطأ للتوزيع الطبيعي القياسي $(\mu = 0, \sigma^2 = 1)$ و $\epsilon_t \sim \text{Normal}$ والتوزيع اللوغارتمي الطبيعي $(\mu = 1, \sigma^2 = 1)$ و $\epsilon_t \sim \text{Lognormal}$ والتوزيع المنتظم المستمر $\epsilon_t \sim \text{Cont. Uniform} (-1, 1)$ و $\epsilon_t \sim \text{Student's } t(df = 2)$.

حجم العينة (n)	قيمة المعلمة (a)	$\epsilon_t \sim \text{Normal} (\mu = 0, \sigma^2 = 1)$					$\epsilon_t \sim \text{Lognormal} (\mu = 1, \sigma^2 = 1)$				
		EES _a	BIAS _a	MSE _a	ρ_3	MAPE	EES _a	BIAS _a	MSE _a	ρ_3	MAPE
30	-0.0553	-0.0442	-0.0111	0.0346	0.9199	0.6547	0.1429	-0.1982	0.0638	39.5867	0.7393
	0.1154	0.0599	0.0555	0.0350			0.2741	-0.1587	0.0489		
	0.2919	0.2348	0.0571	0.0355			0.4321	-0.1402	0.0410		
60	-0.0553	-0.0422	-0.0131	0.0157	0.9701	0.4588	0.1239	-0.1792	0.0437	39.1207	0.5329
	0.1154	0.0819	0.0335	0.0156			0.2775	-0.1621	0.0390		
	0.2919	0.2605	0.0314	0.0160			0.4427	-0.1508	0.0331		
120	-0.0553	-0.0487	-0.0066	0.0081	0.9897	-0.3477	0.1225	-0.1778	0.0372	38.6798	0.5810
	0.1154	0.0807	0.0347	0.0090			0.2809	-0.1655	0.0332		
	0.2919	0.2682	0.0237	0.0069			0.4341	-0.1422	0.0250		
240	-0.0553	-0.0473	-0.0080	0.0036	1.001	0.6693	0.1176	-0.1729	0.0329	38.5843	0.7385
	0.1154	0.0875	0.0279	0.0049			0.2805	-0.1651	0.0301		
	0.2919	0.2679	0.0240	0.0044			0.4364	-0.1445	0.0236		
480	-0.0553	-0.0480	-0.0073	0.0018	1.0002	9.7447	0.1187	-0.1740	0.0319	39.8901	0.7408
	0.1154	0.0934	0.0220	0.0023			0.2738	-0.1584	0.0270		
	0.2919	0.2728	0.0191	0.0020			0.4342	-0.1423	0.0217		

حجم العينة (n)	قيمة المعلمة (a)	$\epsilon_t \sim \text{Continuous Uniform} (a = -1, b = 1)$					$\epsilon_t \sim \text{Student's } t(df = 2)$				
		EES _a	BIAS _a	MSE _a	ρ_3	MAPE	EES _a	BIAS _a	MSE _a	ρ_3	MAPE
30	-0.0553	-0.0444	-0.0109	0.0324	0.3055	-0.0426	-0.0551	-0.0002	0.0251	113.001	-0.3542
	0.1154	0.0532	0.0622	0.0362			0.0788	0.0366	0.0311		
	0.2919	0.2404	0.0515	0.0335			0.2448	0.0471	0.0325		
60	-0.0553	-0.0436	-0.0117	0.0159	0.3186	-0.8769	-0.0428	-0.0125	0.0148	25.0874	-1.8765
	0.1154	0.0742	0.0412	0.0190			0.0889	0.0265	0.0140		
	0.2919	0.2593	0.0326	0.0153			0.2563	0.0356	0.0146		
120	-0.0553	-0.0479	0.0074	0.0084	0.3303	-0.0640	-0.0459	-0.0094	0.0068	9.9756	2.9426
	0.1154	0.0836	0.0318	0.0090			0.0803	0.0351	0.0081		
	0.2919	0.2676	0.0243	0.0082			0.2667	0.0252	0.0068		
240	-0.0553	-0.0492	-0.0061	0.0045	0.3328	-0.4844	-0.0463	-0.0090	0.0034	10.8203	0.1324
	0.1154	0.0933	-0.0221	0.0044			0.0939	0.0215	0.0037		
	0.2919	0.2687	0.0232	0.0043			0.2668	0.0251	0.0035		
480	-0.0553	-0.0485	-0.0068	0.0020	0.3362	-0.1134	-0.0466	-0.0087	0.0019	13.499	-6.7570
	0.1154	0.0934	0.0220	0.0025			0.0933	0.0221	0.0021		
	0.2919	0.2681	0.0238	0.0024			0.2725	0.0194	0.0019		

تابع جدول (1)

ملاحظة: للحصول على القيمة المنوية لـ MAPE يتم ضرب القيمة المدونة بالجدول اعلاه في 100.

جدول (2) يوضح قيم معايير المفاضلة المستعملة المحتسبة بطريقة Levinson – Durbin التكرارية (LDR) على وفق حجوم العينات المأخوذة وقيم معلمات الأتمودج AR(3) المستقر في الصيغة (12) وذلك عند خضوع متغير حد الخطأ لأتمودج ARCH(q=1,2) تبعا لمعلمات كل أتمودج .

حجم العينة (n)	قيمة المعلمة (a)	$X_t = -0.0553x_{t-1} + 0.1154x_{t-2} + 0.2919x_{t-3} + \varepsilon_t$ where									
		$\varepsilon_t = z_t \sqrt{0.25 + 0.45\varepsilon_{t-1}^2}$ & $z_t \sim \text{Normal}(0,1)$					$\varepsilon_t = z_t \sqrt{0.5 + 0.2\varepsilon_{t-1}^2}$ & $z_t \sim \text{Normal}(0,1)$				
		EES _a	BIAS _a	MSE _a	ρ_3	MAPE	EES _a	BIAS _a	MSE _a	ρ_3	MAPE
30	-0.0553	-0.0451	-0.0102	0.0454	0.5684	0.2822	-0.0435	-0.0118	0.0504	0.5574	-0.1607
	0.1154	0.0462	0.0692	0.0416			0.0504	0.0650	0.0403		
	0.2919	0.2339	0.0580	0.0352			0.2376	0.0543	0.0336		
60	-0.0553	-0.0494	-0.0059	0.0281	0.4270	0.0812	-0.0488	-0.0065	0.0193	0.5961	-0.2990
	0.1154	0.0699	0.0455	0.0191			0.0730	0.0424	0.0193		
	0.2919	0.2555	0.0364	0.0150			0.2542	0.0377	0.0161		
120	-0.0553	-0.0425	-0.0128	0.0158	0.4568	-0.1436	-0.0550	-0.0003	0.0100	0.6172	0.0884
	0.1154	0.0831	0.0323	0.0114			0.0764	0.0390	0.0097		
	0.2919	0.2562	0.0357	0.0090			0.2616	0.0303	0.0078		
240	-0.0553	-0.0479	-0.0074	0.0083	0.4465	-0.0081	-0.0490	-0.0063	0.0056	0.6174	0.0327
	0.1154	0.0906	0.0248	0.0056			0.0904	0.0250	0.0047		
	0.2919	0.2635	0.0284	0.0048			0.2662	0.0257	0.0041		
480	-0.0553	0.0477	-0.0076	0.0047	0.4569	1.0830	-0.0457	-0.0096	0.0027	0.6282	-0.1726
	0.1154	0.0913	0.0241	0.0036			0.0926	0.0228	0.0025		
	0.2919	0.2709	0.0210	0.0025			0.2697	0.0222	0.0021		

تابع جدول (2)

حجم العينة (n)	قيمة المعلمة (a)	$X_t = -0.0553x_{t-1} + 0.1154x_{t-2} + 0.2919x_{t-3} + \varepsilon_t$ where									
		$\varepsilon_t = z_t \sqrt{0.01 + 0.2\varepsilon_{t-1}^2 + 0.2\varepsilon_{t-2}^2}$ & $z_t \sim \text{Normal}(0,1)$					$\varepsilon_t = z_t \sqrt{0.2 + 0.2\varepsilon_{t-1}^2 + 0.2\varepsilon_{t-2}^2}$ & $z_t \sim \text{Normal}(0,1)$				
		EES _a	BIAS _a	MSE _a	ρ_3	MAPE	EES _a	BIAS _a	MSE _a	ρ_3	MAPE
30	-0.0553	-0.0581	0.0028	0.0452	0.0146	-1.2162	-0.0532	-0.0021	-0.0021	0.2924	0.3404
	0.1154	0.0574	0.0580	0.0486			0.0533	0.0621	0.0621		
	0.2919	0.2410	0.0509	0.0336			0.2381	0.2381	0.0538		
60	-0.0553	-0.0544	-0.0009	0.0211	0.0162	0.1818	-0.0448	-0.0105	0.0214	0.3130	0.3444
	0.1154	0.0826	0.0328	0.0215			0.0717	0.0437	0.0249		
	0.2919	0.2507	0.0412	0.0153			0.2587	0.0332	0.0150		
120	-0.0553	-0.0474	-0.0079	0.0110	0.0159	0.2599	-0.0494	-0.0059	0.0111	0.3248	-0.0319
	0.1154	0.0790	0.0364	0.0118			0.0892	0.0262	0.0118		
	0.2919	0.2603	0.0316	0.0082			0.2645	0.0274	0.0082		
240	-0.0553	-0.0451	-0.0102	0.0060	0.0166	0.1149	-0.0497	-0.0056	0.0062	0.3289	0.1628
	0.1154	0.0847	0.0307	0.0071			0.0906	0.0248	0.0074		
	0.2919	0.2607	0.0312	0.0046			0.2663	0.0256	0.0045		
480	-0.0553	-0.0473	-0.0080	0.0029	0.0166	1.6938	-0.0455	-0.0098	0.0029	0.3364	-0.1309
	0.1154	0.0926	0.0228	0.0037			0.0911	0.0243	0.0036		
	0.2919	0.2673	0.0246	0.0028			0.2723	0.0196	0.0023		

ملاحظة: للحصول على القيمة المنوية لـ MAPE يتم ضرب القيمة المدونة بالجدول اعلاه في 100.

جدول (3-1) يوضح قيم معايير المفاضلة المستعملة المحتسبة بطريقة اقل مربعات الخطأ الموزونة (WLSE) ولقيم عدة $\alpha = 0.3, 0.6, 0.99$ على وفق حجوم العينات المأخوذة وقيم معلمات الأتمودج AR(3) المستقر في الصيغة (12) وذلك عند خضوع متغير حد الخطأ الطبيعي القياسي $\epsilon_t \sim \text{Normal} (\mu = 0, \sigma^2 = 1)$.

حجم العينة (n)	قيمة المعلمة (a)	$X_t = -0.0553x_{t-1} + 0.1154x_{t-2} + 0.2919x_{t-3} + \epsilon_t$											
		$\alpha = 0.3$				$\alpha = 0.6$				$\alpha = 0.99$			
		EES _a	BIAS _a	MSE _a	B(a)	EES _a	BIAS _a	MSE _a	B(a)	EES _a	BIAS _a	MSE _a	B(a)
30	-0.0553	-0.1141	0.0588	0.7470	5.666	-0.0663	0.0110	0.2380	3.4999	-0.0104	-0.0449	0.0344	13.314
	0.1154	-0.0238	0.1392	1.0215		-0.0139	0.1293	0.2898		0.0595	0.0559	0.0333	
	0.2919	0.2207	0.0712	0.9050		0.2015	0.0904	0.2786		0.2257	0.0662	0.0347	
60	-0.0553	-0.0669	0.0116	0.8509	6.2019	-0.0571	0.0018	0.2462	3.4487	-0.0286	-0.0267	0.0163	27.895
	0.1154	-0.0392	0.1546	0.8949		-0.0103	0.1257	0.2882		0.0826	0.0328	0.0152	
	0.2919	0.2256	0.0663	1.0345		0.2209	0.0710	0.2620		0.2555	0.0364	0.0159	
120	-0.0553	0.0024	-0.0577	0.7727	5.8337	-0.0504	-0.0049	0.2414	3.4519	-0.0440	-0.0113	0.0085	38.861
	0.1154	-0.0752	0.1906	1.1441		-0.0306	0.1460	0.3292		0.0827	0.0327	0.0095	
	0.2919	0.2085	0.0834	1.0773		0.2253	0.0666	0.3024		0.2684	0.0235	0.0076	
240	-0.0553	-0.0197	-0.0356	0.8016	4.7065	-0.0328	-0.0225	0.2965	3.2356	-0.0492	-0.0061	0.0049	47.945
	0.1154	-0.1534	0.2688	0.8985		-0.0717	0.1871	0.3195		0.0858	0.0296	0.0062	
	0.2919	0.2390	0.0529	0.8545		0.2180	0.0739	0.3044		0.2688	0.0231	0.0056	
480	-0.0553	-0.0502	-0.0051	0.8488	6.0156	-0.0452	-0.0101	0.3026	3.5806	-0.0527	-0.0026	0.0046	50.744
	0.1154	-0.0963	0.2117	0.9897		-0.0284	0.1438	0.3175		0.0926	0.0228	0.0051	
	0.2919	0.3529	-0.0610	0.9424		0.2877	0.0042	0.2903		0.2700	0.0219	0.0049	

جدول (3-2) يوضح قيم معايير المفاضلة المستعملة المحتسبة بطريقة اقل مربعات الخطأ الموزونة (WLSE) ولقيم عدة $\alpha = 0.3, 0.6, 0.99$ على وفق حجوم العينات المأخوذة وقيم معلمات الأتمودج AR(3) المستقر في الصيغة (12) وذلك عند خضوع متغير حد الخطأ للتوزيع اللوغارتمي الطبيعي $\epsilon_t \sim \text{Lognormal} (\mu = 1, \sigma^2 = 1)$.

حجم العينة (n)	قيمة المعلمة (a)	$X_t = -0.0553x_{t-1} + 0.1154x_{t-2} + 0.2919x_{t-3} + \epsilon_t$											
		$\alpha = 0.3$				$\alpha = 0.6$				$\alpha = 0.99$			
		EES _a	BIAS _a	MSE _a	B(a)	EES _a	BIAS _a	MSE _a	B(a)	EES _a	BIAS _a	MSE _a	B(a)
30	-0.0553	0.1668	-0.2221	2.8430	4251.5	0.1689	-0.2242	0.7619	2351.9	0.1816	-0.2369	0.0787	137690
	0.1154	0.4081	-0.2927	2.3816		0.3490	-0.2336	1.0329		0.2779	-0.1625	0.0529	
	0.2919	0.6457	-0.3538	3.0811		0.5267	-0.2348	1.0963		0.4151	-0.1232	0.0411	
60	-0.0553	0.1969	-0.2522	1.6897	2816.6	0.2179	-0.2732	0.3723	1704.2	0.1406	-0.1959	0.0495	20342
	0.1154	0.2709	-0.1555	2.2647		0.2659	-0.1505	0.3739		0.2784	-0.1630	0.0391	
	0.2919	0.7735	-0.4816	2.8540		0.5622	-0.2703	0.5860		0.4328	-0.1409	0.0297	
120	-0.0553	0.0185	-0.0738	7.7458	2386.4	0.1282	-0.1835	0.4000	2319.7	0.1277	-0.1830	0.0393	14023
	0.1154	0.3893	-0.2739	3.9471		0.3062	-0.1908	0.6520		0.2812	-0.1658	0.0335	
	0.2919	0.7721	-0.4802	4.5691		0.5982	-0.3063	0.9715		0.4327	-0.1408	0.0246	
240	-0.0553	0.1440	-0.1993	1.0419	21075	0.1279	-0.1832	0.2791	5902.5	0.1184	-0.1737	0.0342	3350.0
	0.1154	0.3292	-0.2138	2.4465		0.2823	-0.1669	0.4903		0.2786	-0.1632	0.0307	
	0.2919	0.7980	-0.5061	3.9589		0.6244	-0.3325	1.0360		0.4395	-0.1476	0.0255	
480	-0.0553	0.1101	-0.1654	2.6402	4947	0.1594	-0.2147	0.4607	2180.8	0.1198	-0.1751	0.0337	2774.7
	0.1154	0.3939	-0.2785	3.2231		0.3073	-0.1919	0.5414		0.2727	-0.1573	0.0285	
	0.2919	0.6934	-0.4015	2.2900		0.5544	-0.2625	0.5502		0.4365	-0.1446	0.0238	

جدول (3-3) يوضح قيم معايير المفاضلة المستعملة المحتسبة بطريقة اقل مربعات الخطأ الموزونة (WLSE) ولقيم عدة $\alpha = 0.3, 0.6, 0.99$ على وفق حجوم العينات المأخوذة وقيم معاملات الأنموذج AR(3) المستقر في الصيغة (12) وذلك عند خضوع متغير حد الخطأ للتوزيع $\cdot \varepsilon_t \sim \text{Continuous Uniform} (a = -1, b = 1)$

حجم العينة (n)	قيمة المعلمة (a)	$X_t = -0.0553x_{t-1} + 0.1154x_{t-2} + 0.2919x_{t-3} + \varepsilon_t$											
		$\alpha = 0.3$				$\alpha = 0.6$				$\alpha = 0.99$			
		EES _a	BIAS _a	MSE _a	B(a)	EES _a	BIAS _a	MSE _a	B(a)	EES _a	BIAS _a	MSE _a	B(a)
30	-0.0553	-0.0073	-0.0480	0.7854	1.4338	-0.0571	0.0018	0.2458	0.9571	0.0435	-0.0988	0.0382	5.6746
	0.1154	-0.0420	0.1574	0.7984		-0.0351	0.1505	0.2712		0.0531	0.0623	0.0295	
	0.2919	0.2747	0.0172	0.8540		0.2483	0.0436	0.2512		0.2185	0.0734	0.0315	
60	-0.0553	-0.0041	-0.0594	0.8089	1.3503	-0.0270	-0.0283	0.2653	0.9400	-0.0032	-0.0521	0.0177	8.8567
	0.1154	-0.0457	0.1611	0.8796		0.0011	0.1143	0.3108		0.0732	0.0422	0.0182	
	0.2919	0.2419	0.0500	0.8221		0.2171	0.0748	0.3009		0.2487	0.0432	0.0158	
120	-0.0553	-0.0310	-0.0243	0.9230	1.361	-0.0139	-0.0414	0.2645	0.9310	-0.0314	-0.0239	0.0096	12.863
	0.1154	-0.1627	0.2781	0.9228		-0.0599	0.1753	0.2737		0.0817	0.0337	0.0093	
	0.2919	0.2250	0.0669	0.7729		0.1919	0.1000	0.2666		0.2609	0.0310	0.0092	
240	-0.0553	-0.0452	-0.0101	0.7788	1.3618	-0.0501	-0.0052	0.2391	1.0193	-0.0463	-0.0090	0.0062	15.864
	0.1154	0.0191	0.0963	0.7815		0.0079	0.1075	0.2551		0.0913	0.0241	0.0061	
	0.2919	0.2206	0.0713	0.8875		0.2115	0.0804	0.2759		0.2638	0.0281	0.0058	
480	-0.0553	-0.0614	0.0061	0.7269	1.5138	-0.0742	0.0189	0.2609	1.0012	-0.0465	-0.0088	0.0045	17.061
	0.1154	-0.0969	0.2123	0.7163		-0.0565	0.1719	0.2411		0.0873	0.0281	0.0059	
	0.2919	0.2660	0.0259	0.7567		0.2290	0.0629	0.2720		0.2641	0.0278	0.0052	

جدول (3-4) يوضح قيم معايير المفاضلة المستعملة المحتسبة بطريقة اقل مربعات الخطأ الموزونة (WLSE) ولقيم عدة $\alpha = 0.3, 0.6, 0.99$ على وفق حجوم العينات المأخوذة وقيم معاملات الأنموذج AR(3) المستقر في الصيغة (12) وذلك عند خضوع متغير حد الخطأ للتوزيع $\cdot \varepsilon_t \sim \text{Student's } t(df = 2)$

حجم العينة (n)	قيمة المعلمة (a)	$X_t = -0.0553x_{t-1} + 0.1154x_{t-2} + 0.2919x_{t-3} + \varepsilon_t$											
		$\alpha = 0.3$				$\alpha = 0.6$				$\alpha = 0.99$			
		EES _a	BIAS _a	MSE _a	B(a)	EES _a	BIAS _a	MSE _a	B(a)	EES _a	BIAS _a	MSE _a	B(a)
30	-0.0553	-0.0170	-0.0383	2.3700	3298.5	-0.0365	-0.0188	0.5448	2107.4	-0.0441	-0.0112	0.0254	365437
	0.1154	-0.0475	0.0679	4.4474		0.0361	0.0793	0.5005		0.0817	0.0337	0.0312	
	0.2919	0.2169	0.0750	4.8662		0.2097	0.0822	1.1619		0.2400	0.0519	0.0409	
60	-0.0553	-0.1035	0.0482	1.0216	17966	-0.0756	0.0203	0.2435	1714.3	-0.0391	-0.0162	0.0150	213011
	0.1154	0.0206	0.0948	4.4032		0.0454	0.0700	0.9763		0.0897	0.0257	0.0142	
	0.2919	0.2855	0.0064	10.441		0.2075	0.0844	2.0185		0.2542	0.0377	0.0152	
120	-0.0553	-0.0739	0.0186	1.0850	7815.5	-0.0642	0.0089	0.2552	1285.7	-0.0449	-0.0104	0.0076	9581.7
	0.1154	-0.1091	0.2245	1.6379		-0.0393	0.1547	0.3715		0.0799	0.0355	0.0086	
	0.2919	0.2527	0.0392	1.5891		0.2531	0.0388	0.3925		0.2659	0.0260	0.0085	
240	-0.0553	-0.1385	0.0832	2.3156	1459.7	-0.0841	0.0288	0.7208	891.28	-0.0480	-0.0073	0.0043	1790.5
	0.1154	-0.1236	0.2390	2.9264		-0.0448	0.1602	0.7343		0.0946	0.0208	0.0050	
	0.2919	0.4182	-0.1263	7.4484		0.3556	-0.0637	2.9002		0.2673	0.0246	0.0047	
480	-0.0553	-0.0954	0.0401	0.8485	1384.9	-0.0666	0.0113	0.2639	23683	-0.0462	-0.0091	0.0033	2518.4
	0.1154	-0.1100	0.2254	2.1260		-0.0323	0.1477	0.5110		0.0913	0.0241	0.0042	
	0.2919	0.2874	0.0045	2.5413		0.2453	0.0466	0.6892		0.2695	0.0224	0.0036	

جدول (3-5) يوضح قيمة معيار MAPE المحتسبة بطريقة اقل مربعات الخطأ الموزونة (WLSE) ولقيم عدة لـ $\alpha = 0.3, 0.6, 0.99$ على وفق حجوم العينات المأخوذة وقيم معاملات الأتمودج AR(3) المستقر في الصيغة (12) وذلك عند خضوع متغير حد الخطأ للتوزيع الطبيعي القياسي $\varepsilon_t \sim \text{Normal} (\mu = 0, \sigma^2 = 1)$ واللوغارتمي الطبيعي $(\mu = 1, \sigma^2 = 1)$ $\varepsilon_t \sim \text{Lognormal}$ وتوزيع المنتظم المستمر $(-1, 1)$ $\varepsilon_t \sim \text{Cont. Uniform}$ و $\varepsilon_t \sim \text{Student's t} (df = 2)$.

حجم العينة (n)	$X_t = -0.0553X_{t-1} + 0.1154X_{t-2} + 0.2919X_{t-3} + \varepsilon_t$											
	$\varepsilon_t \sim \text{Normal} (\mu = 0, \sigma^2 = 1)$			$\varepsilon_t \sim \text{Lognormal} (\mu = 1, \sigma^2 = 1)$			$\varepsilon_t \sim \text{Cont. Uniform} (-1, 1)$			$\varepsilon_t \sim \text{Student's t} (df = 2)$		
	$\alpha = 0.3$	$\alpha = 0.6$	$\alpha = 0.99$	$\alpha = 0.3$	$\alpha = 0.6$	$\alpha = 0.99$	$\alpha = 0.3$	$\alpha = 0.6$	$\alpha = 0.99$	$\alpha = 0.3$	$\alpha = 0.6$	$\alpha = 0.99$
30	3.1437	1.0876	0.9967	4.9977	2.1436	0.8202	-0.7366	-0.0614	0.1188	-0.6939	0.1365	-0.0663
60	0.0557	-0.0727	0.6176	8.668	4.8582	1.0386	-5.1599	-2.5934	-0.8950	-20.670	-6.4489	-2.1853
120	-1.0935	-1.0330	-0.4870	2.2441	1.1468	0.7605	0.1682	-0.0693	0.0394	0.3701	0.7084	1.3461
240	1.5295	1.4543	0.6966	-0.8975	1.8134	1.0243	-3.5927	-0.9730	-0.5815	2.5013	0.6212	0.0309
480	10.6441	2.8074	6.1855	4.3344	2.0252	0.8067	-0.6072	-0.0196	-0.0588	-43.359	-40.352	-0.7357

ملاحظة: للحصول على القيمة المتوقعة لـ MAPE يتم ضرب القيمة المدونة بالجدول اعلاه في 100.

جدول (4-1) يوضح قيم معايير المفاضلة المستعملة المحتسبة بطريقة اقل مربعات الخطأ الموزونة (WLSE) ولقيم عدة لـ $\alpha = 0.3, 0.6, 0.99$ على وفق حجوم العينات المأخوذة وقيم معاملات الأتمودج AR(3) المستقر في الصيغة (12) وذلك عند خضوع متغير حد الخطأ لأتمودج ARCH(q=1) تبعاً لمعاملات كل أنموذج.

حجم العينة (n)	قيمة المعلمة (a)	$X_t = -0.0553X_{t-1} + 0.1154X_{t-2} + 0.2919X_{t-3} + \varepsilon_t$ where $\varepsilon_t = z_t \sqrt{0.25 + 0.45\varepsilon_{t-1}^2}$ & $z_t \sim \text{Normal} (0, 1)$											
		$\alpha = 0.3$				$\alpha = 0.6$				$\alpha = 0.99$			
		EES _a	BIAS _a	MSE _a	B(a)	EES _a	BIAS _a	MSE _a	B(a)	EES _a	BIAS _a	MSE _a	B(a)
30	-0.0553	-0.0390	-0.0163	0.8671	4.4017	-0.0379	-0.0174	0.2689	2.3720	0.0092	-0.0645	0.0464	11.373
	0.1154	-0.1097	0.2251	0.9709		-0.0664	0.1818	0.2943		0.0474	0.0680	0.0360	
	0.2919	0.2877	0.0042	0.8517		0.2562	0.0357	0.2560		0.2203	0.0716	0.0341	
60	-0.0553	-0.0393	-0.0160	0.8661	3.0457	-0.0692	0.0139	0.2711	2.0965	-0.0172	-0.0381	0.0281	13.211
	0.1154	0.0776	0.1930	1.3617		-0.0485	0.1639	0.3403		0.0672	0.0482	0.0180	
	0.2919	0.2716	0.0203	1.3512		0.2441	0.0478	0.3004		0.2447	0.0472	0.0146	
120	-0.0553	-0.0394	-0.0159	0.7112	8.3394	-0.0432	-0.0121	0.2675	2.4982	-0.0312	-0.0241	0.0167	19.213
	0.1154	-0.1238	0.2392	1.0691		-0.0646	0.1800	0.3369		0.0825	0.0389	0.0121	
	0.2919	0.1733	0.1186	1.1187		0.1853	0.1066	0.3107		0.2514	0.0405	0.0097	
240	-0.0553	-0.0439	-0.0114	0.9765	3.6586	-0.0550	-0.0003	0.3316	2.3246	-0.0459	-0.0094	0.0111	22.246
	0.1154	-0.1755	0.2909	1.1483		-0.0935	0.2089	0.3378		0.0865	0.0289	0.0077	
	0.2919	0.3221	-0.0302	1.2292		0.2513	0.0406	0.3038		0.2614	0.0305	0.0063	
480	-0.0553	-0.1410	0.0857	0.9803	3.4812	-0.1186	0.0633	0.3136	2.2761	-0.0489	-0.0064	0.0105	23.778
	0.1154	-0.1042	0.2196	1.3536		-0.0577	0.1731	0.3765		0.0861	0.0293	0.0063	
	0.2919	0.2468	0.0451	1.2819		0.2328	0.0591	0.3892		0.2698	0.0221	0.0051	

جدول (4-2) يوضح قيم معايير المفاضلة المستعملة المحتسبة بطريقة اقل مربعات الخطأ الموزونة (WLSE) ولقيم عدة لـ $\alpha = 0.3, 0.6, 0.99$ على وفق حجوم العينات المأخوذة وقيم معاملات الأنموذج (3) AR المستقر في الصيغة (12) وذلك عند خضوع متغير حد الخطأ لأنموذج ARCH(q=1) تبعاً لمعاملات كل أنموذج .

حجم العينة (n)	قيمة المعلمة (a)	$X_t = -0.0553x_{t-1} + 0.1154x_{t-2} + 0.2919x_{t-3} + \varepsilon_t$ where $\varepsilon_t = z_t \sqrt{0.5 + 0.2\varepsilon_{t-1}^2}$ & $z_t \sim \text{Normal}(0, 1)$											
		$\alpha = 0.3$				$\alpha = 0.6$				$\alpha = 0.99$			
		EES _a	BIAS _a	MSE _a	B(a)	EES _a	BIAS _a	MSE _a	B(a)	EES _a	BIAS _a	MSE _a	B(a)
30	-0.0553	-0.0568	0.0015	0.8268	3.825	-0.0445	-0.0108	0.2810	2.3127	0.0114	-0.0667	0.0495	11.194
	0.1154	-0.0585	0.1739	0.9956		-0.0159	0.1313	0.3137		0.0513	0.0641	0.0350	
	0.2919	0.2403	0.0516	0.9840		0.2229	0.0690	0.2744		0.2248	0.0671	0.0327	
60	-0.0553	-0.0354	-0.0199	0.8126	3.8383	-0.0290	-0.0263	0.3110	2.3659	-0.0260	-0.0293	0.0203	17.269
	0.1154	-0.1234	0.2388	1.1882		-0.0706	0.1860	0.3573		0.0707	0.0447	0.0190	
	0.2919	0.3231	-0.0312	1.2307		0.2375	0.0544	0.2906		0.2478	0.0441	0.0165	
120	-0.0553	-0.1155	0.0602	0.8125	3.2084	-0.0683	0.0130	0.2813	2.1962	-0.0493	-0.0060	0.0107	24.558
	0.1154	-0.0781	0.1935	1.0217		-0.0165	0.1319	0.2718		0.0767	0.0387	0.0099	
	0.2919	0.3028	-0.0109	0.8506		0.2462	0.0457	0.2849		0.2597	0.0322	0.0085	
240	-0.0553	0.0126	-0.0679	0.8337	4.0091	0.0033	-0.0586	0.2957	2.5211	-0.0438	-0.0115	0.0077	29.697
	0.1154	-0.0673	0.1827	1.0947		-0.0337	0.1491	0.3392		0.0863	0.0291	0.0066	
	0.2919	0.2824	0.0095	1.0996		0.2558	0.0361	0.3340		0.2646	0.0273	0.0057	
480	-0.0553	0.0563	-0.1116	0.8248	3.065	0.0201	-0.0754	0.2816	2.2242	-0.0457	-0.0096	0.0060	32.080
	0.1154	-0.0808	0.1962	0.9910		-0.0392	0.1546	0.3070		0.0864	0.0290	0.0060	
	0.2919	0.2659	0.0260	1.0575		0.2441	0.0478	0.3299		0.2713	0.0206	0.0047	

جدول (4-3) يوضح قيم معايير المفاضلة المستعملة المحتسبة بطريقة اقل مربعات الخطأ الموزونة (WLSE) ولقيم عدة لـ $\alpha = 0.3, 0.6, 0.99$ على وفق حجوم العينات المأخوذة وقيم معاملات الأنموذج (3) AR المستقر في الصيغة (12) وذلك عند خضوع متغير حد الخطأ لأنموذج ARCH(q=2) تبعاً لمعاملات كل أنموذج .

حجم العينة (n)	قيمة المعلمة (a)	$X_t = -0.0553x_{t-1} + 0.1154x_{t-2} + 0.2919x_{t-3} + \varepsilon_t$ where $\varepsilon_t = z_t \sqrt{0.01 + 0.2\varepsilon_{t-1}^2 + 0.2\varepsilon_{t-2}^2}$ & $z_t \sim \text{Normal}(0, 1)$											
		$\alpha = 0.3$				$\alpha = 0.6$				$\alpha = 0.99$			
		EES _a	BIAS _a	MSE _a	B(a)	EES _a	BIAS _a	MSE _a	B(a)	EES _a	BIAS _a	MSE _a	B(a)
30	-0.0553	-0.1049	0.0496	0.7950	0.0954	-0.0660	0.0107	0.2464	0.0626	0.6307	-0.6860	0.4857	0.3804
	0.1154	-0.0579	0.1733	1.0304		-0.0314	0.1468	0.3220		0.0380	0.0774	0.0118	
	0.2919	0.3411	-0.0492	1.2332		0.2773	0.0146	0.2978		0.0690	0.2229	0.0566	
60	-0.0553	-0.0707	0.0154	0.8478	0.1319	-0.0568	0.0015	0.2613	0.0777	0.3980	-0.4533	0.2194	0.5993
	0.1154	-0.0910	0.2064	1.0768		-0.0181	0.1335	0.3630		0.0600	0.0554	0.0103	
	0.2919	0.2371	0.0548	1.2697		0.2400	0.0519	0.3223		0.1251	0.1668	0.0350	
120	-0.0553	-0.0308	-0.0245	1.0235	0.1446	-0.0570	0.0017	0.2490	0.0758	0.1712	-0.2265	0.0604	0.7384
	0.1154	-0.0724	0.1878	1.1845		-0.0242	0.1396	0.3187		0.0679	0.0475	0.0090	
	0.2919	0.3097	-0.0178	2.0132		0.2334	0.0585	0.3221		0.1940	0.0979	0.0153	
240	-0.0553	-0.0613	0.0060	0.7423	0.0969	-0.0468	-0.0085	0.2766	0.0646	0.0161	-0.0714	0.0129	0.8395
	0.1154	-0.0840	0.1994	1.7620		-0.0586	0.1740	0.3574		0.0799	0.0355	0.0083	
	0.2919	0.3573	-0.0654	1.2554		0.2421	0.0498	0.3213		0.2398	0.0521	0.0076	
480	-0.0553	-0.0986	0.0433	0.9530	0.0833	-0.0843	0.0295	0.2818	0.0664	-0.0438	-0.0115	0.0071	0.8593
	0.1154	-0.0914	0.2063	1.0971		-0.0340	0.1494	0.3453		0.0867	0.0287	0.0075	
	0.2919	0.3107	-0.0188	1.0851		0.2579	0.0340	0.2913		0.2623	0.0296	0.0055	

جدول (4-4) يوضح قيم معايير المفاضلة المستعملة المحتسبة بطريقة اقل مربعات الخطأ الموزونة (WLSE) ولقيم عدة لـ $\alpha = 0.3, 0.6, 0.99$ على وفق حجوم العينات المأخوذة وقيم معاملات الأنموذج (3) AR المستقر في الصيغة (12)، وذلك عند خضوع متغير حد الخطأ لأنموذج ARCH(q=2) تبعا لمعاملات كل أنموذج .

حجم العينة (n)	قيمة المعلمة (a)	$X_t = -0.0553X_{t-1} + 0.1154X_{t-2} + 0.2919X_{t-3} + \varepsilon_t$ where $\varepsilon_t = z_t \sqrt{0.2 + 0.2\varepsilon_{t-1}^2 + 0.2\varepsilon_{t-2}^2}$ & $z_t \sim \text{Normal}(0,1)$											
		$\alpha = 0.3$				$\alpha = 0.6$				$\alpha = 0.99$			
		EES _a	BIAS _a	MSE _a	B(a)	EES _a	BIAS _a	MSE _a	B(a)	EES _a	BIAS _a	MSE _a	B(a)
30	-0.0553	-0.0719	0.0166	0.7217	1.8800	-0.0605	0.0052	0.3031	1.1475	0.0486	-0.1039	0.0490	5.8120
	0.1154	-0.0812	0.1966	1.0914		-0.0444	0.1598	0.3606		0.0549	0.0605	0.0340	
	0.2919	0.2504	0.0415	0.8297		0.2167	0.0752	0.2868		0.2121	0.0798	0.0290	
60	-0.0553	0.0286	-0.0839	1.0200	1.6508	0.0118	-0.0671	0.3163	1.3036	-0.0039	-0.0514	0.0234	9.1924
	0.1154	-0.0009	0.1163	1.1879		0.0133	0.1021	0.3417		0.0716	0.0438	0.0229	
	0.2919	0.2984	-0.0063	1.1266		0.2471	0.0448	0.2923		0.2478	0.0441	0.0154	
120	-0.0553	-0.0909	0.0356	0.7821	2.2177	-0.0704	0.0151	0.2586	1.4775	-0.0356	-0.0197	0.0122	13.140
	0.1154	-0.0464	0.1618	0.9526		-0.0293	0.1447	0.3083		0.0887	0.0267	0.0123	
	0.2919	0.3523	-0.0604	1.0098		0.2600	0.0319	0.3099		0.2597	0.0322	0.0092	
240	-0.0553	-0.0617	0.0064	0.9889	2.0414	-0.0547	-0.0006	0.2815	1.3144	-0.0507	-0.0046	0.0083	16.066
	0.1154	-0.0889	0.2043	1.2824		-0.0224	0.1378	0.3604		0.0862	0.0292	0.0095	
	0.2919	0.3396	-0.0477	1.2185		0.2743	0.0176	0.3404		0.2684	0.0235	0.0053	
480	-0.0553	-0.0037	-0.0516	0.8117	1.9437	-0.0208	-0.0345	0.2498	1.3780	-0.0464	-0.0089	0.0066	17.003
	0.1154	-0.0678	0.1832	0.9158		-0.0207	0.1361	0.3157		0.0861	0.0293	0.0075	
	0.2919	0.3070	-0.0151	1.1242		0.2179	0.0740	0.3269		0.2676	0.0243	0.0054	

جدول (4-5) يوضح قيمة معيار MAPE معايير المفاضلة المستعملة المحتسبة بطريقة اقل مربعات الخطأ الموزونة (WLSE) ولقيم عدة لـ $\alpha = 0.3, 0.6, 0.99$ على وفق حجوم العينات المأخوذة وقيم معاملات الأنموذج (3) AR المستقر في الصيغة (12)، وذلك عند خضوع متغير حد الخطأ لأنموذج ARCH(q=1,2) تبعا لمعاملات كل أنموذج.

حجم العينة (n)	$X_t = -0.0553X_{t-1} + 0.1154X_{t-2} + 0.2919X_{t-3} + \varepsilon_t$ where											
	$\varepsilon_t = z_t \sqrt{0.25 + 0.45\varepsilon_{t-1}^2}$ & $z_t \sim \text{Normal}(0,1)$			$\varepsilon_t = z_t \sqrt{0.5 + 0.2\varepsilon_{t-1}^2}$ & $z_t \sim \text{Normal}(0,1)$			$\varepsilon_t = z_t \sqrt{0.01 + 0.2\varepsilon_{t-1}^2 + 0.2\varepsilon_{t-2}^2}$ & $z_t \sim \text{Normal}(0,1)$			$\varepsilon_t = z_t \sqrt{0.2 + 0.2\varepsilon_{t-1}^2 + 0.2\varepsilon_{t-2}^2}$ & $z_t \sim \text{Normal}(0,1)$		
	$\alpha = 0.3$	$\alpha = 0.6$	$\alpha = 0.99$	$\alpha = 0.3$	$\alpha = 0.6$	$\alpha = 0.99$	$\alpha = 0.3$	$\alpha = 0.6$	$\alpha = 0.99$	$\alpha = 0.3$	$\alpha = 0.6$	$\alpha = 0.99$
30	0.0619	0.0344	-0.0159	-2.5389	-1.3045	0.3929	-2.9278	0.2508	-1.2313	2.0300	0.6800	0.5750
60	-0.4803	-0.3405	0.0994	-5.4530	-4.4062	-0.5057	-0.4087	-0.4083	-2.4898	3.3500	1.2689	0.4074
120	-0.8308	-0.5028	-0.0932	0.2044	-0.2759	0.0647	-0.1035	-0.3817	0.4187	0.8540	0.6310	0.0214
240	0.1002	-0.1683	0.0468	3.3522	1.4125	-0.0086	3.9194	2.2672	0.4131	1.5183	0.2908	-0.0675
480	3.0971	1.7757	0.9343	-3.5773	-2.7403	0.2289	14.0936	13.0152	1.5463	2.8058	0.7382	-0.1123

ملاحظة: للحصول على القيمة المنوية لـ MAPE يتم ضرب القيمة المدونة بالجدول اعلاه في 100.

جدول (5) يوضح قيم معايير المفاضلة المستعملة التي تشمل قيم المعلمات المقدرة وقيم متوسط مربعات الخطأ (p) مع قيم معيار MAPE المحتسبة بطريقة Levinson-Durbin التكرارية (LDR) عندما يكون حجم العينة n=60 لأنموذج الانحدار الذاتي (AR(p) عندما تكون p=1,2,3,4).

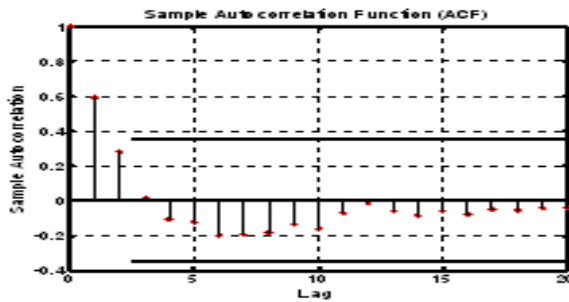
Model	a ₁	a ₂	a ₃	a ₄	ρ	MAPE
AR(1)	0.9668				6.4348e+9	0.3208
AR(2)	0.9440	0.0236			6.4312e+9	0.3295
AR(3)	0.9406	-0.1120	0.1436		6.2985e+9	0.3907
AR(4)	0.9234	-0.0986	0.0314	0.1194	6.2089e+9	0.4333

ملاحظته: للحصول على القيمة المتنبه لـ MAPE يتم ضرب القيمة المدونه بالجدول اعلاه في 100.

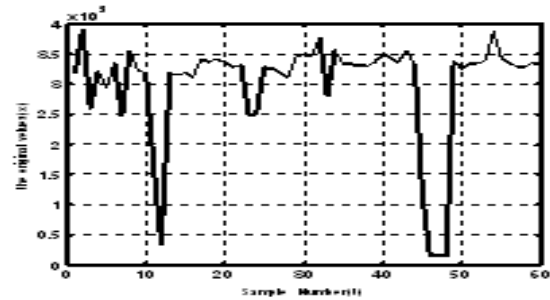
جدول (6) يوضح قيم معايير المفاضلة المستعملة التي تشمل قيم المعلمات المقدرة وقيم متوسط مربعات الخطأ (B(a)) مع قيم معيار MAPE المحتسبة بطريقة اقل مربعات الخطأ الموزونة (WLSE) ولقيم عدة لـ α = 0.3, 0.6, 0.99 عندما يكون حجم العينة n=60 لأنموذج الانحدار الذاتي (AR(p) عندما تكون p=1,2,3,4).

Model	α	a ₁	a ₂	a ₃	a ₄	B(a)	MAPE
AR(1)	0.3	1.0034				3.3332e+7	0.3253
	0.6	0.9998				4.9068e+8	0.3109
	0.99	0.9703				1.4900e+11	0.3303
AR(2)	0.3	0.8937	0.111			7.9649e+7	1.6450
	0.6	0.9400	0.0601			8.3464e+8	1.3026
	0.99	0.9573	0.0135			1.7511e+11	0.3694
AR(3)	0.3	0.9108	0.0412	0.0522		9.1074e+7	2.1960
	0.6	0.9373	0.0357	0.0269		1.2511e+9	1.7984
	0.99	0.9561	-0.0761	0.0953		2.0324e+11	0.4722
AR(4)	0.3	0.9360	-0.005	-0.0164	0.0872	1.3216e+8	5.5198
	0.6	0.9320	0.0314	-0.0355	0.0710	3.4992e+9	3.0578
	0.99	0.9459	-0.0677	-0.0055	0.1074	2.3015e+11	0.5190

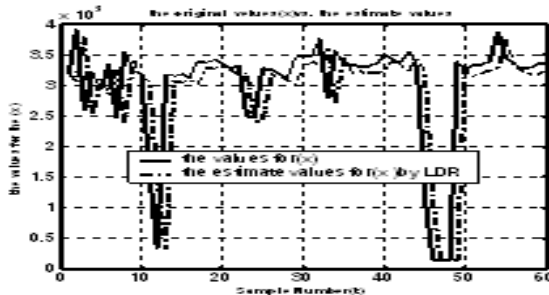
ملاحظته: للحصول على القيمة المتنبه لـ MAPE يتم ضرب القيمة المدونه بالجدول اعلاه في 100.



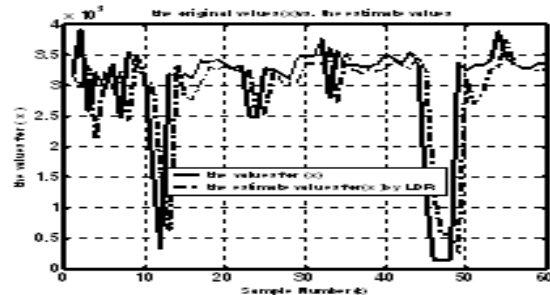
شكل (2) يوضح رسم قيم دوال الارتباط الذاتي للسلسلة الزمنية (x) التي تمثل كمية الحبوب المطحونة (بالأطنان) شهريا.



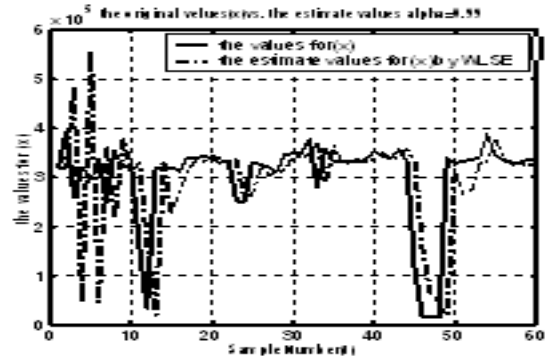
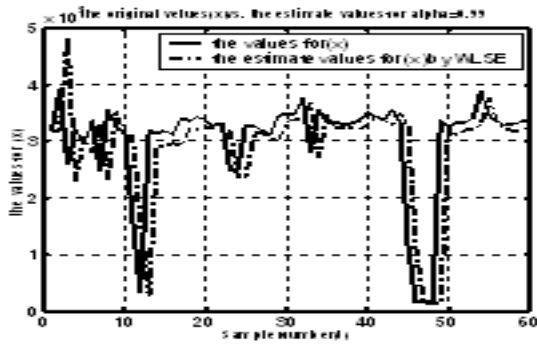
شكل (1) يوضح رسم قيم السلسلة الزمنية (x) التي تمثل كمية الحبوب المطحونة (بالأطنان) شهريا.



شكل (4) يوضح رسم قيم السلسلة الزمنية (x) التي تمثل كمية الحبوب المطحونة (بالأطنان) مع القيم المقدرة لها بأنموذج الانحدار الذاتي AR(1) تبعا لأقل قيمة لـ MAPE بطريقة LDR.



شكل (3) يوضح رسم قيم السلسلة الزمنية (x) التي تمثل كمية الحبوب المطحونة (بالأطنان) مع القيم المقدرة لها بأنموذج الانحدار الذاتي AR(4) تبعا لأقل قيمة لـ p بطريقة LDR.

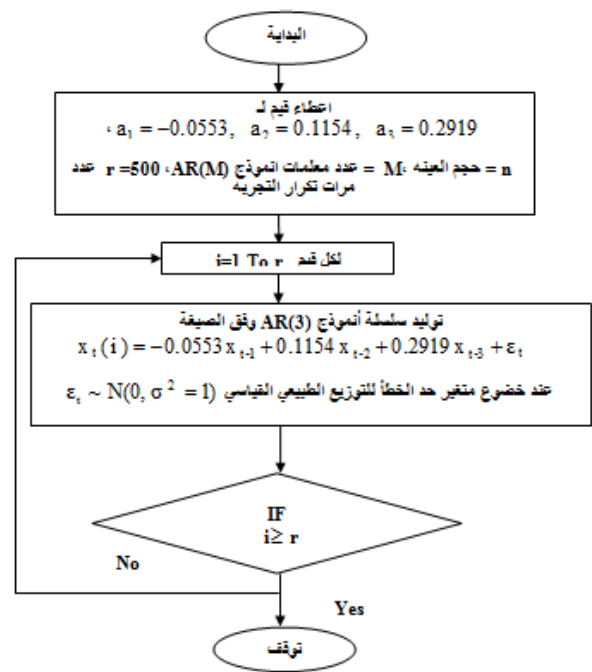
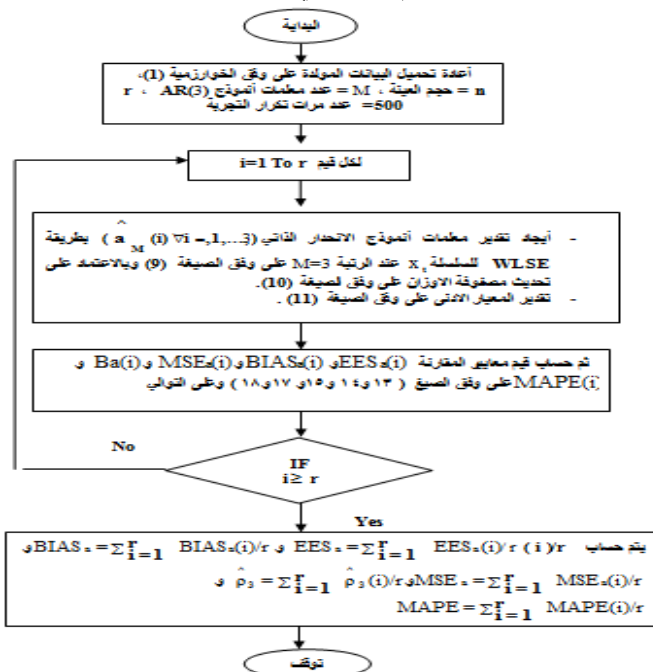


شكل (6) يوضح رسم قيم السلسلة الزمنية (x) التي تمثل كمية الحبوب المطحونة (بالأطنان) مع القيم المقدرة لها بأمودج الانحدار الذاتي AR(3) تبعا لأقل قيمة لـ MAPE بطريقة WLSE.

شكل (5) يوضح رسم قيم السلسلة الزمنية (x) التي تمثل كمية الحبوب المطحونة (بالأطنان) مع القيم المقدرة لها بأمودج الانحدار الذاتي AR(4) تبعا لأقل قيمة لـ B(a) بطريقة WLSE.

الخوارزمية رقم (2) : تقدير قيم معاملات أمودج AR(3) بطريقة (LDR) بالاعتماد على قيم السلسلة المولدة وعلى وفق الخطوات المتقدم ذكرها في الخوارزمية (1).

الخوارزمية رقم (1): لتوليد سلسلة أمودج AR(3) تبعا لتوزيع حد الخطأ المفترض في البحث وحجم العينة (n).



ملاحظة: يتم تكرار الخطوات نفسها أعلاه لحساب قيم معايير المقارنة على وفق الصيغ (13) و (14) و (15) و (16) وعلى التوالي. ولكل حجم عينة n، ولكل توزيع من التوزيعات المفترضة لمتغير حد الخطأ قيد البحث.

ملاحظه : يتم تكرار الخطوات نفسها أعلاه لتوليد سلسلة أمودج AR(3) تبعا ولكل حجم عينة n، ولكل توزيع من التوزيعات المفترضة لمتغير حد الخطأ قيد البحث.

ملاحظه حول خوارزميات الجانب العملي :

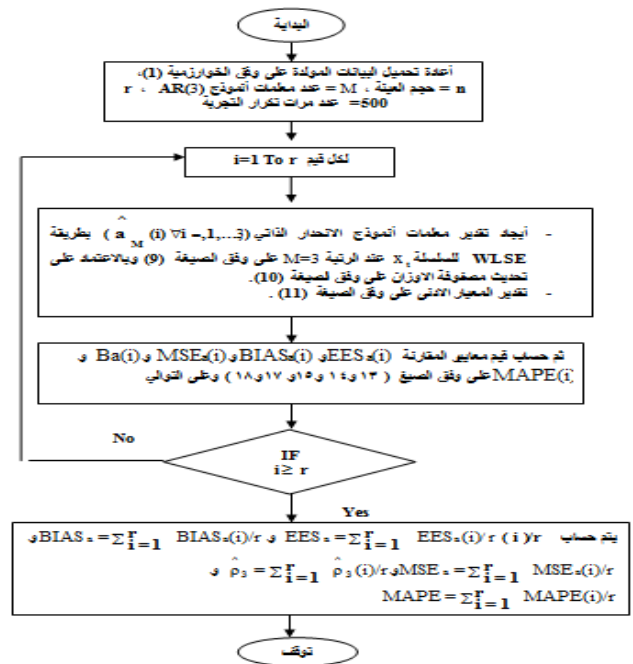
أذ يتم اعتماد الخوارزميات انفسها للبيانات من الواقع العملي

ولكن عندما تكون r=1.

الجدول (7) المتضمن كمية الحبوب المطحونة (بالأطنان) شهريا، وعلى مستوى القطر.

الاشهر	2007	2008	2009	2010	2011
1	317597.556	318172.653	328488.967	331624.151	337498.277
2	391409.489	315565.232	325662.457	330883.008	325671.434
3	259249.257	318463.178	320069.589	336737.695	332617.281
4	320707.074	311671.414	310924.846	351633.536	334228.116
5	294583.641	339498.797	344381.333	343518.742	339773.251
6	335393.077	337679.912	348763.973	336525.759	387590.531
7	247812.644	342594.366	348399.972	354863.633	345428.425
8	355516.569	336394.374	375771.376	332787.238	333369.913
9	322291.479	328633.304	280442.194	115912.288	328791.998
10	317908.073	331629.319	356327.771	15113.000	329027.230
11	161933.039	249810.386	332173.645	15113.000	335465.460
12	33329.600	249810.386	333031.076	15113.000	335465.460

الخوارزمية رقم (3): تقدير قيم معاملات نموذج AR(3) بطريقة (WLSE) بالاعتماد على قيم السلسلة المولدة وعلى وفق الخطوات المتقدم ذكرها في الخوارزمية (1).



Estimate AR(3) by Using Levinson-Durbin Recurrence & Weighted Least Squares Error Methods

Jinan Abbas Naser

Dept. of Information Technique/Technical College of Management/Baghdad

Received in : 9 April 2013 , Accepted in : 24 June 2013

Abstract

In this study, we investigate about the estimation improvement for Autoregressive model of the third order, by using Levinson-Durbin Recurrence (LDR) and Weighted Least Squares Error (WLSE).By generating time series from AR(3) model when the error term for AR(3) is normally and Non normally distributed and when the error term has ARCH(q) model with order $q=1,2$.We used different samples sizes and the results are obtained by using simulation. In general, we concluded that the estimation improvement for Autoregressive model for both estimation methods (LDR&WLSE), would be by increasing sample size, for all distributions which are considered for the error term , except the lognormal distribution. Also we see that the estimation improvement for WSLE method, depends on the value for the Forgetting Factor parameter (α),which haave value less than one(i.e. ($\alpha < 1$)). The estimate is improved for large value for parameter α exactly at $\alpha = 0.99$.Finally, we used the estimation methods (LDR&WLSE) for real data.

Key Words : Autoregressive models, Levinson-Durbin Recurrence method, Weighted Least Squares Error method.